


系外惑星研究の進展

井田 茂 (東工大・地惑)

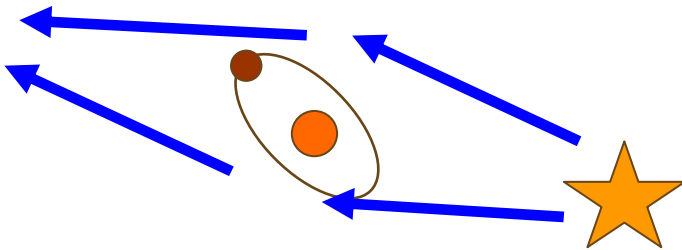
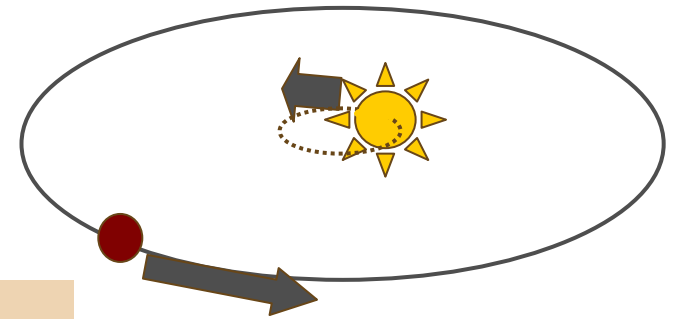
系外惑星系形成の理論モデル

- 京都モデル(太陽系形成モデル)を祖とした多段階過程
- ただし、かなり進化 観測の急進展(原始惑星系円盤、ダスト・デブリ円盤、系外巨大惑星)
- 円盤観測(初期状態)  系外惑星観測(終状態)
 - 観測データを使って惑星形成の物理をキャリブレーション
 - 多様性の起源: ホット・ジュピター、エキセントリック・プラネット
- 観測の指針を与える
- 現状では観測不可能な惑星の予測
 - e.g. ハビタブル・プラネット(生命惑星)の分布
- 大きな展開
 - e.g. 天文学をハビタビリティ(生命)で再構築する

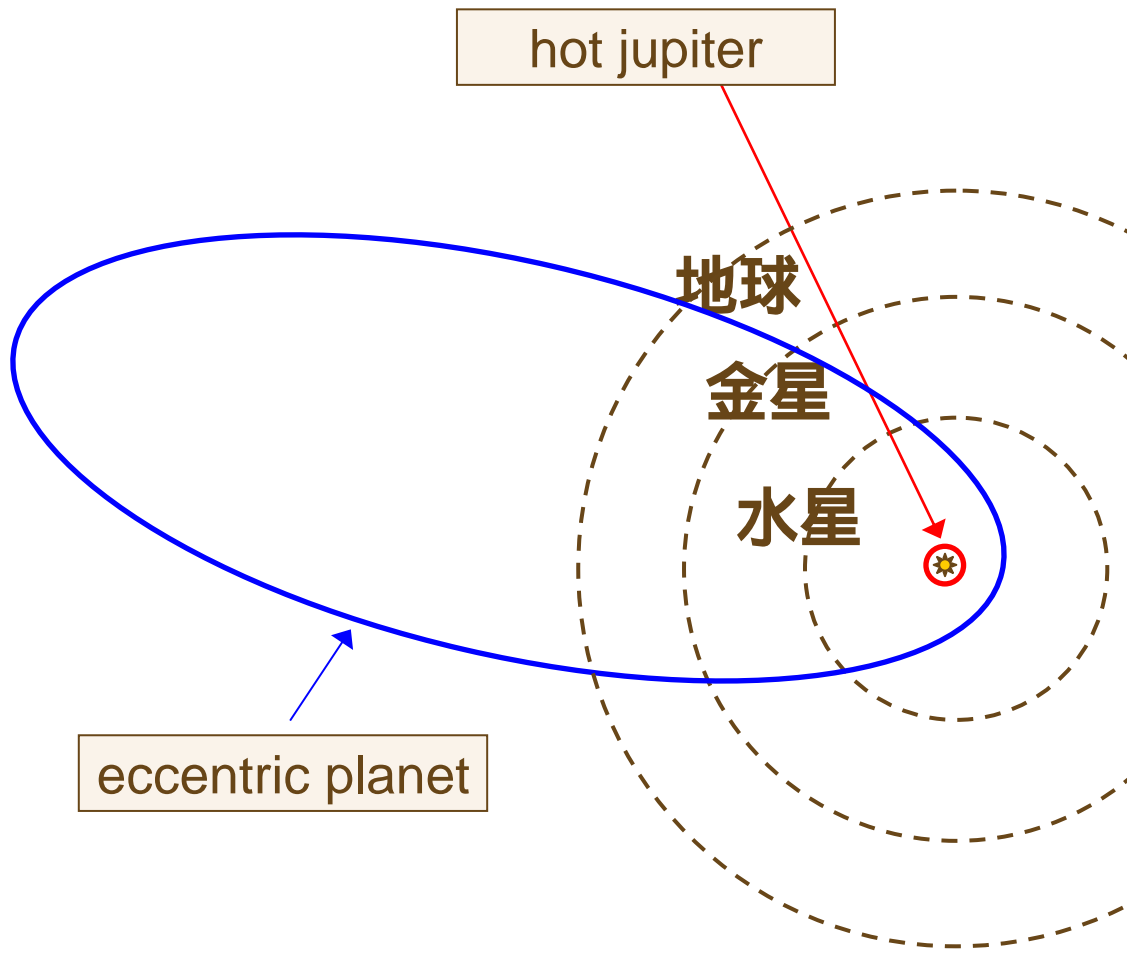
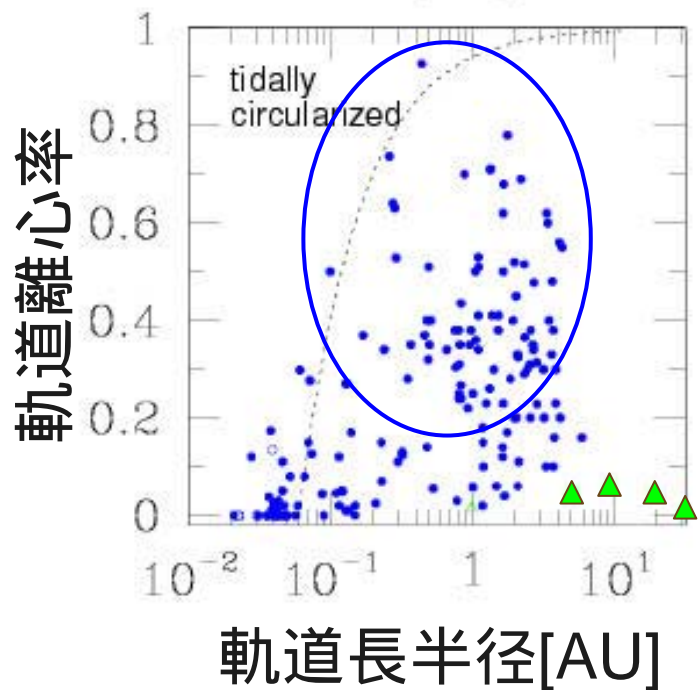
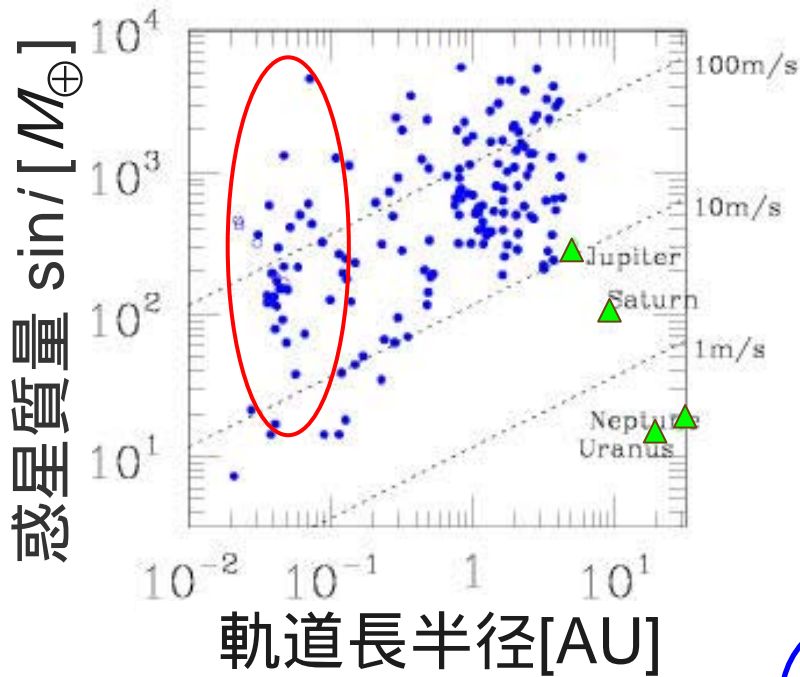
系外惑星の観測

- 視線速度法 153の星, 186個
- トランジット 13個
- 重力レンズ 4個
- 直接撮像?

FGK矮星で $\eta_J > 5\%$



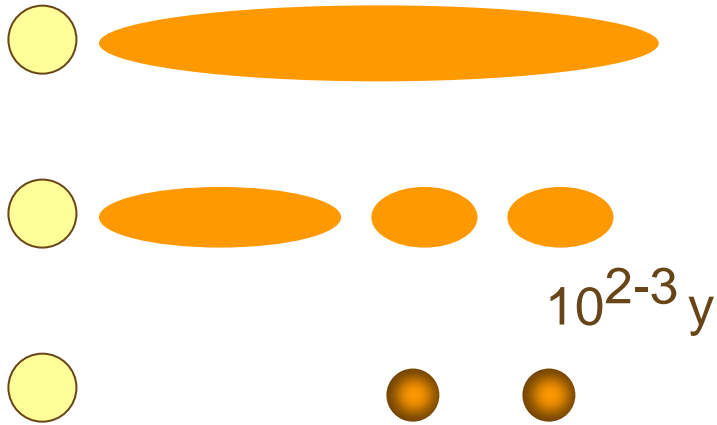
観測された惑星：多様な軌道



惑星形成の基本物理

惑星形成モデル

自己重力不安定モデル

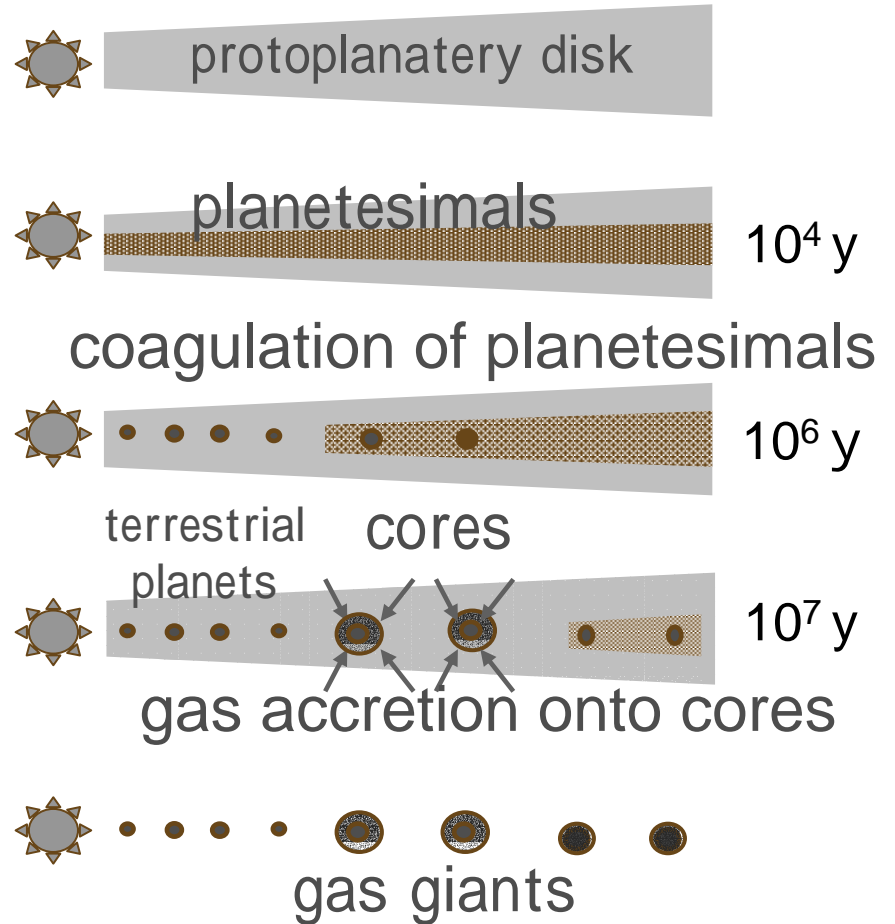


問題点

[Fe/H]依存性

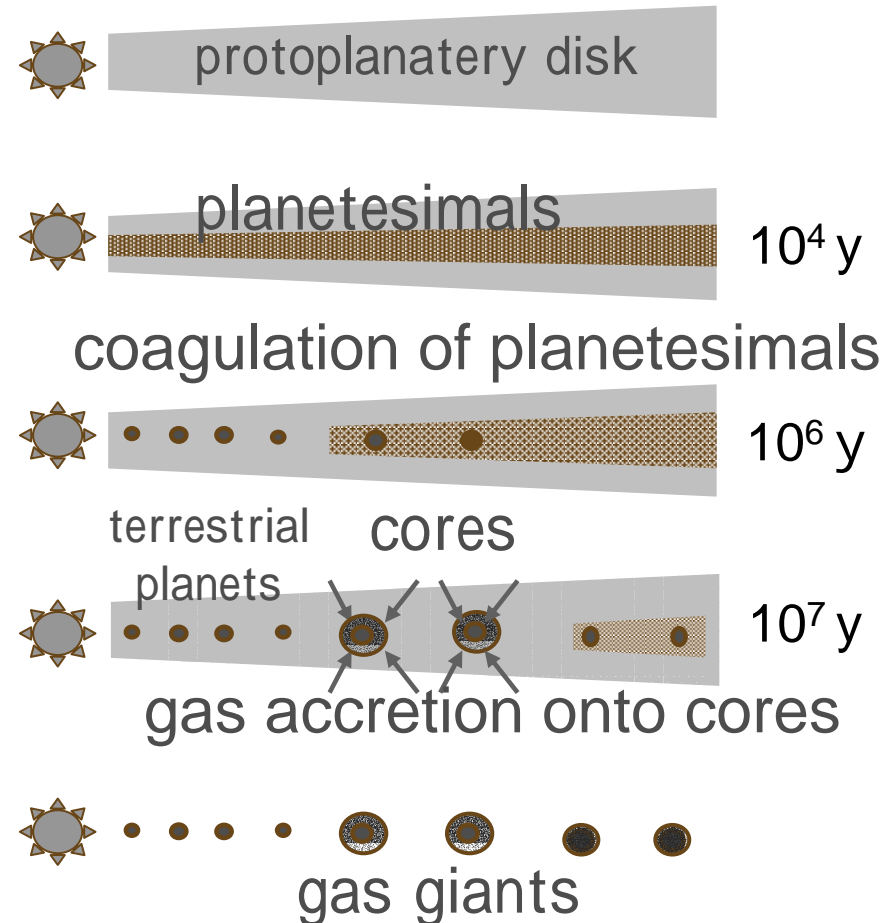
$\sim 10 M_{\oplus}$ の惑星多数発見

コア集積モデル(標準モデル)



原始惑星系円盤

- 進化：MRI乱流の粘性拡散による降着 (+EUVによる蒸発)
- 惑星系 = 星形成の一部が取り残されたもの
- 観測データ
 - $M_{\text{disk,dust}}$: 初期条件
 - lifetime (ダスト放射): ガス惑星形成を制約
 - dM_*/dt vs t , vs M_* : 降着円盤の性質



ダストから微惑星へ

ダスト落下問題:

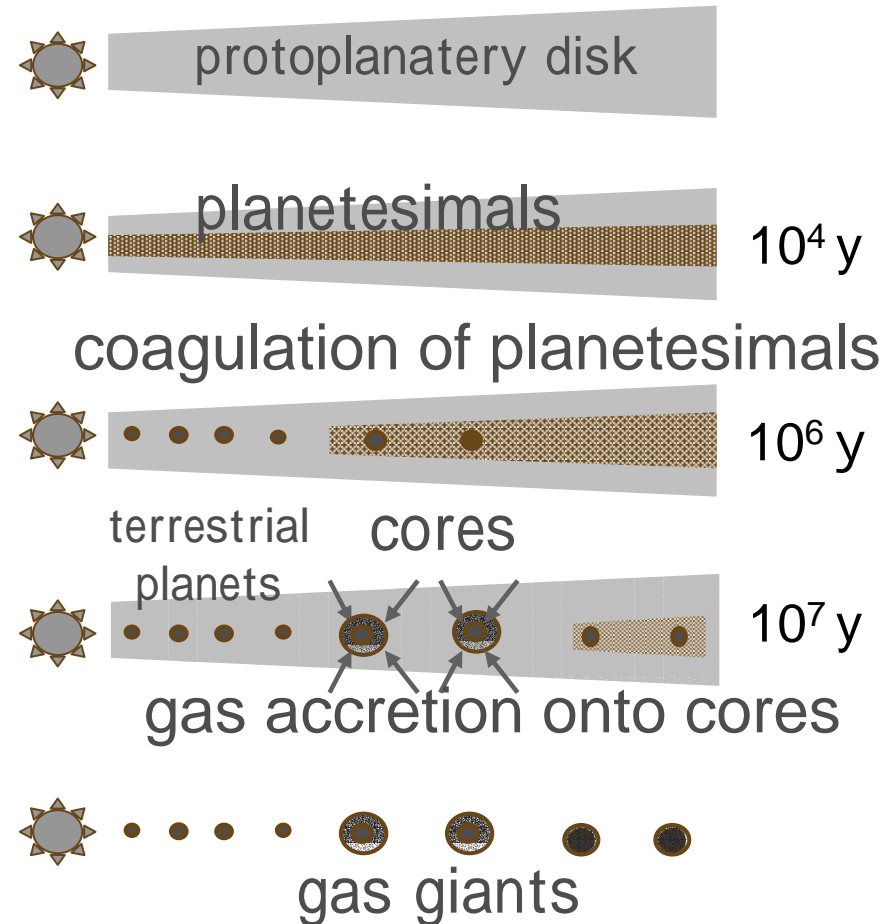
mサイズのダストは 10^{2-3} 年
で中心星に落下



微惑星

- > km: 落下しない、自己重力で合体 惑星のビルディング・ブロック

- 形成問題:** ダストの赤道面沈殿、薄い層形成
自己重力不安定?
MRI, KH乱流で阻害?
乱流渦にダストを濃集?



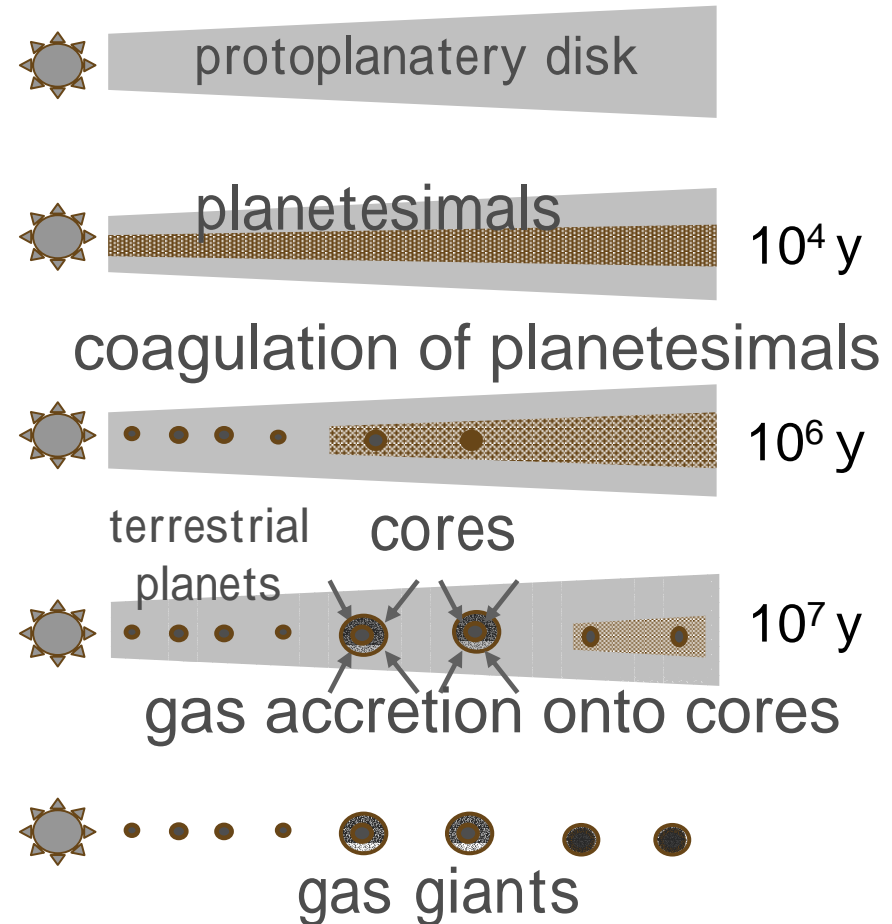
微惑星から原始惑星へ

● 微惑星の集積:よくわかっている (N体、統計的手法)

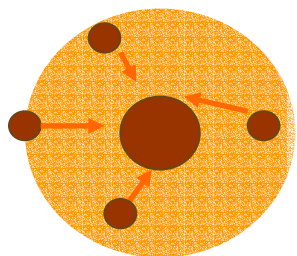
- 暴走成長、寡占成長 (原始惑星の形成)、原始惑星同士の衝突

惑星落下問題

- 難問!
- 地球、木星のコアは、10万年以内に落下

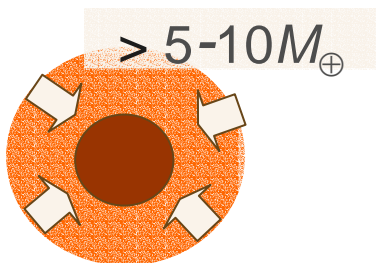


微惑星から原始惑星へ

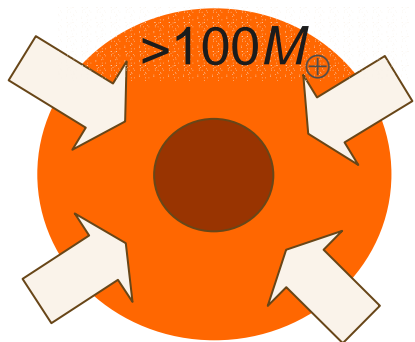


コア集積

ガスエンベロップ
収縮



$> 5-10M_{\odot}$

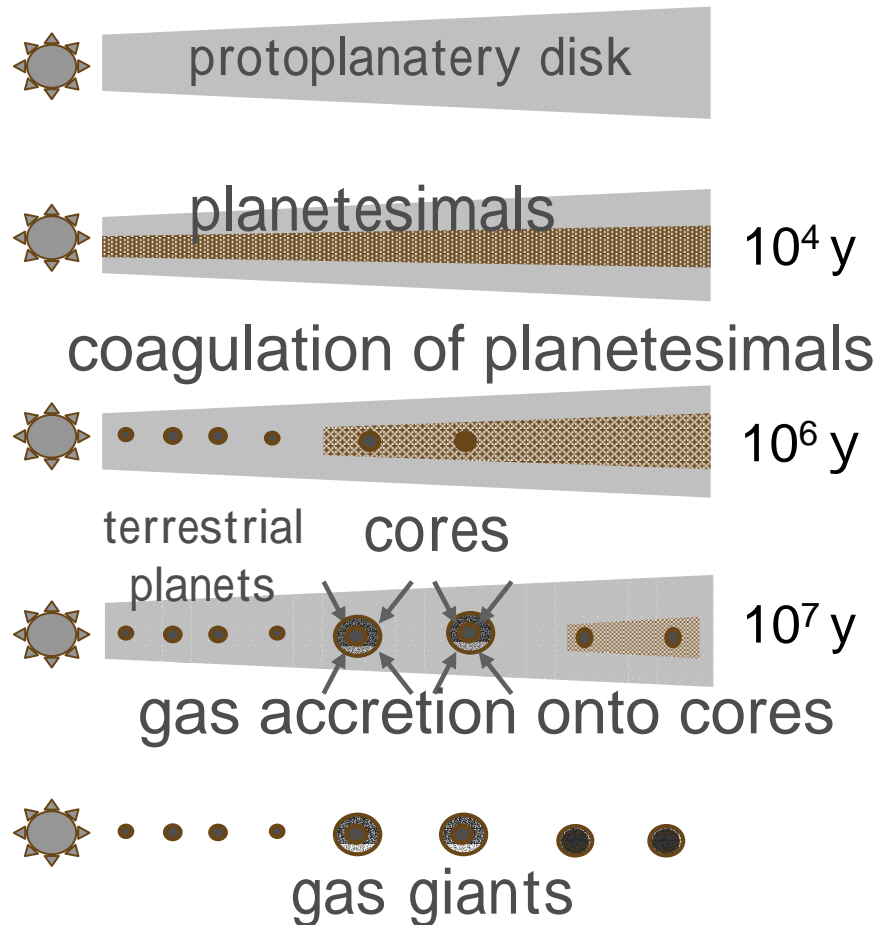


$> 100M_{\odot}$

暴走的な
円盤ガスの流入

外側領域で円軌道で形成

- 特に氷ダスト凝縮領域 ($> 3 \text{ AU}$ for $\sim 1M_{\odot}$ 恒星)
- 外過ぎると、コア成長が遅く、だめ

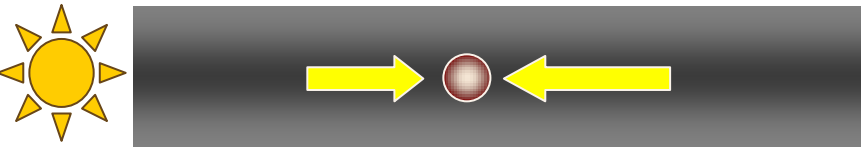


Disk-planet tidal interactions

type-I migration

Goldreich & Tremaine (1979),
Ward (1986, 1997), Tanaka et al. (2002)

$$M \sim (0.1 - 10) M_{\oplus}$$



disk torque imbalance

$$\tau_{\text{mig,I}} \approx 5 \times 10^4 \left(\frac{\Sigma_g}{\Sigma_{g,\text{MMSN}}} \right)^{-1} \left(\frac{M_p}{M_{\oplus}} \right)^{-1} \left(\frac{a}{1\text{AU}} \right)^{\frac{3}{2}} \text{ yrs}$$

円盤ガスよりもずっと速く落下

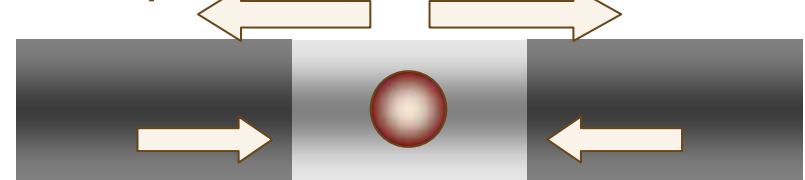
$$\tau_{\text{mig,II}} \approx 10^6 \left(\frac{\Sigma_g}{\Sigma_{g,\text{MMSN}}} \right)^{-1} \left(\frac{M_p}{M_J} \right) \left(\frac{\alpha}{10^{-3}} \right)^{-1} \left(\frac{a}{1\text{AU}} \right)^{\frac{1}{2}} \text{ yrs}$$

type-II migration

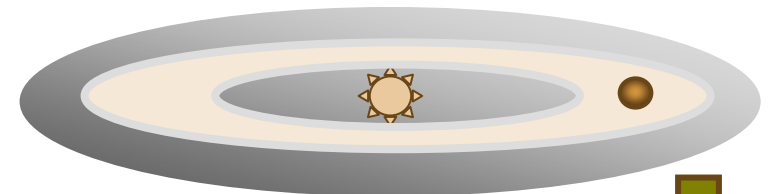
Lin & Papaloizou (1985),

$$M > (10 - 100) M_{\oplus}$$

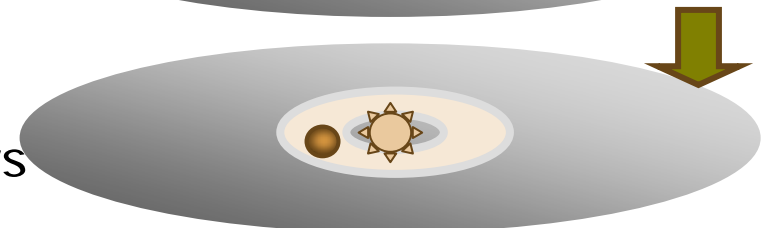
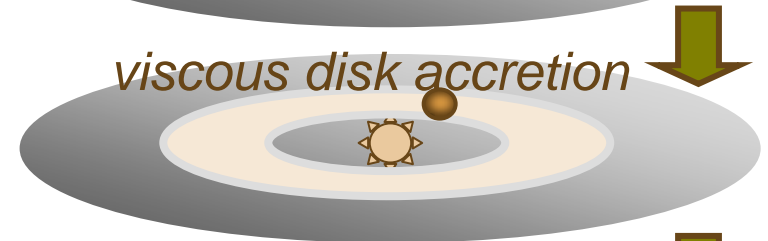
planet's perturbation



viscous diffusion



viscous disk accretion

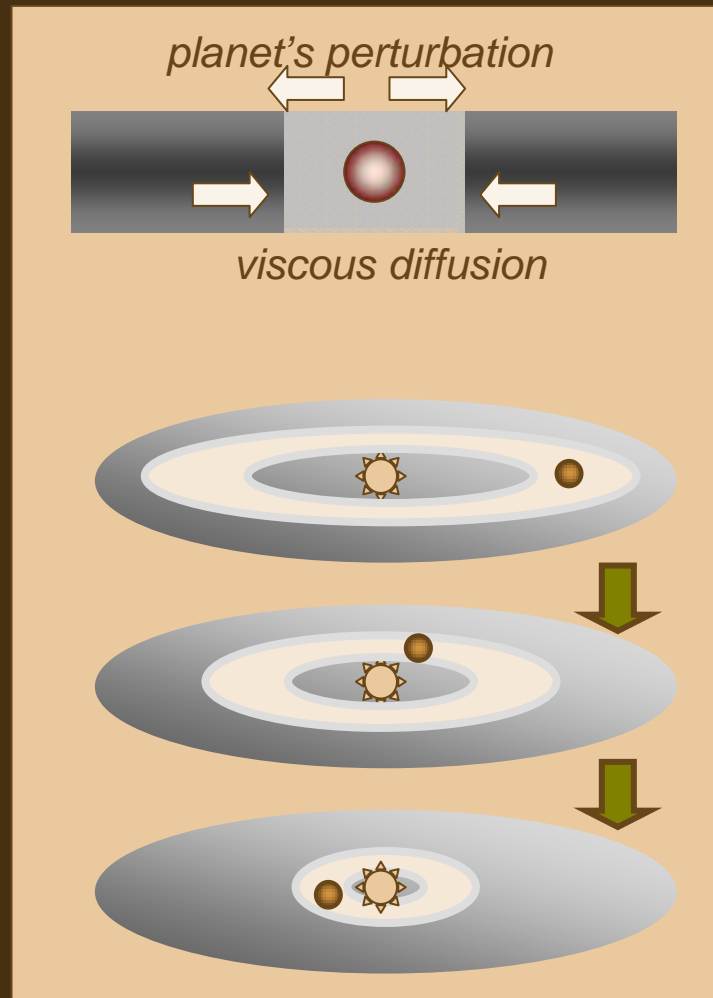


系外惑星の多様性の起源

type II migration

ホット・ジュピターの起源

[もとは惑星非存在論の論拠、あまり注目されていなかった]



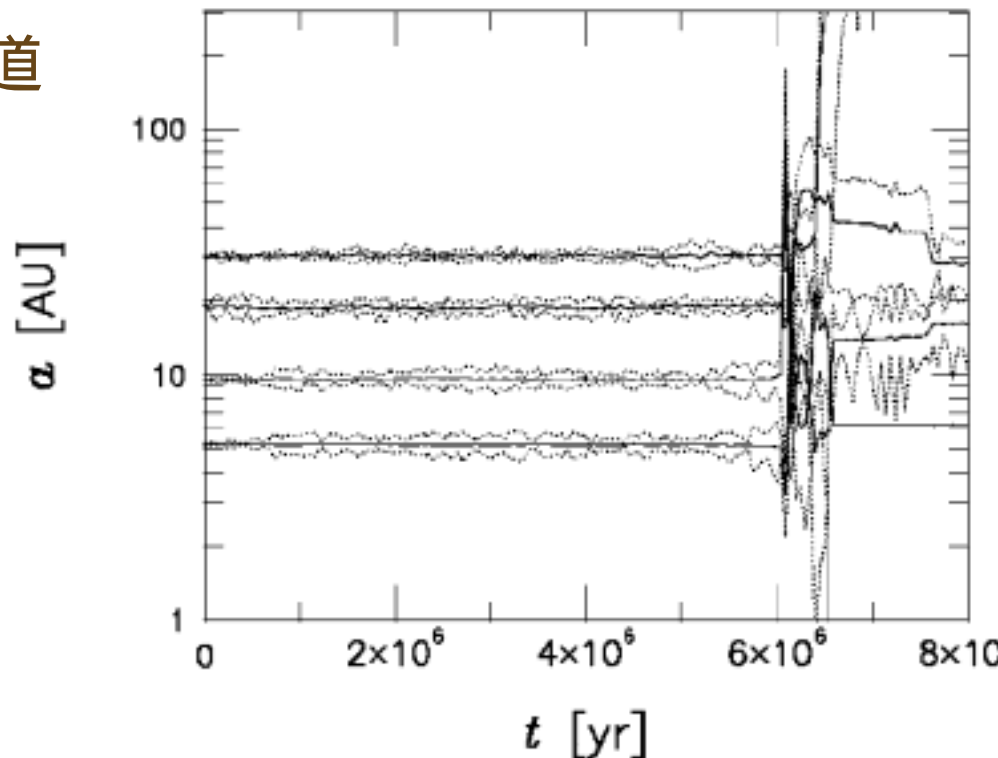
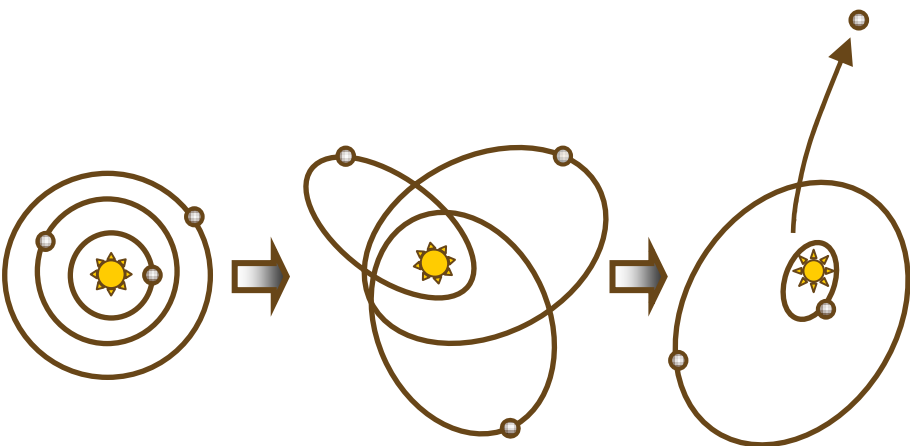
惑星軌道の不安定化 エキセントリック・プラネットの起源

[もとは地球型惑星の巨大衝突の論拠、論文は一旦は rejected]

- 3個以上の巨大惑星（円軌道） [2個では安定]
- 永年摂動で軌道交差開始
- 一つが放出

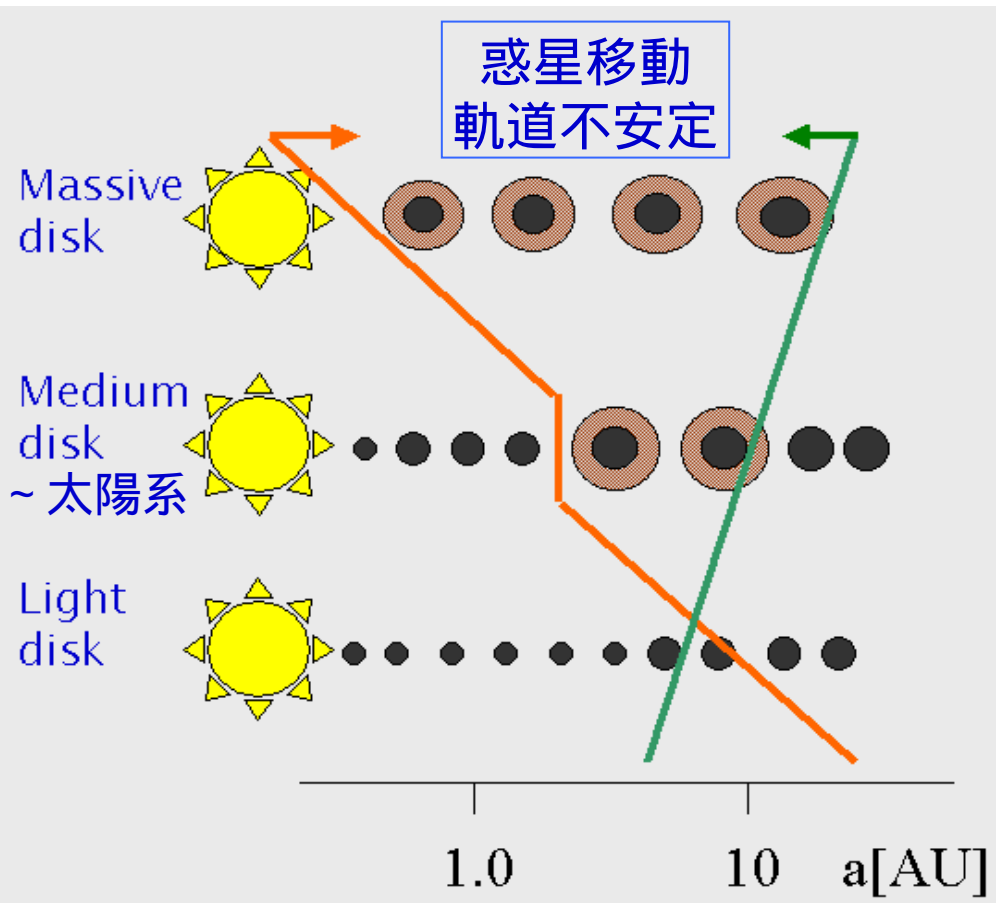
残りが分離した安定楕円軌道

- $a_{in,最終} \sim 0.5a_{in,初期}$
- $a_{out,最終} \sim 10-50AU$

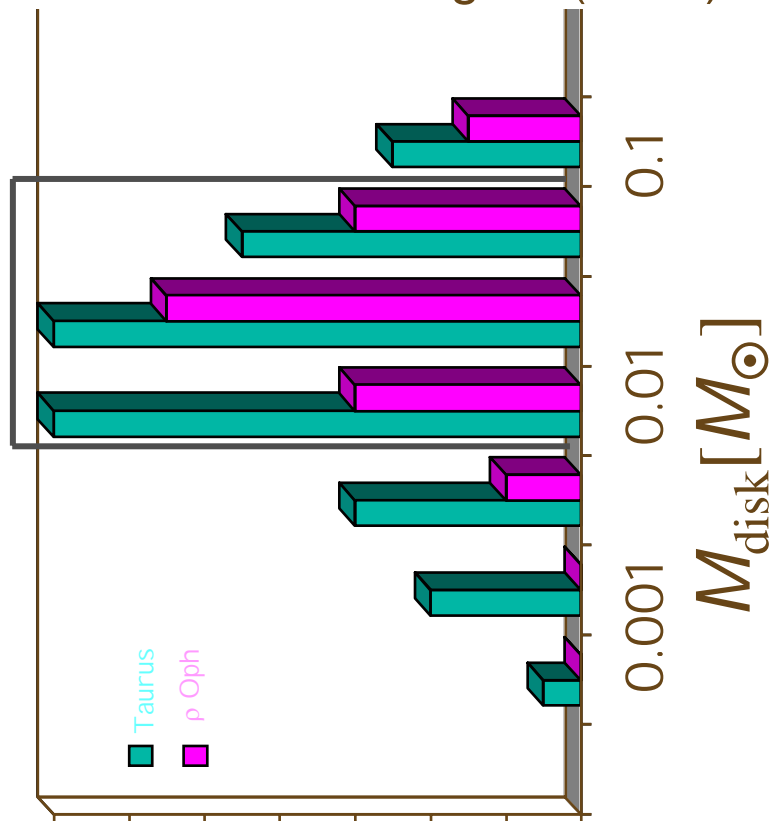


惑星系の多様性 円盤質量?

Kokubo&Ida(2002), Ida&Lin(2004)

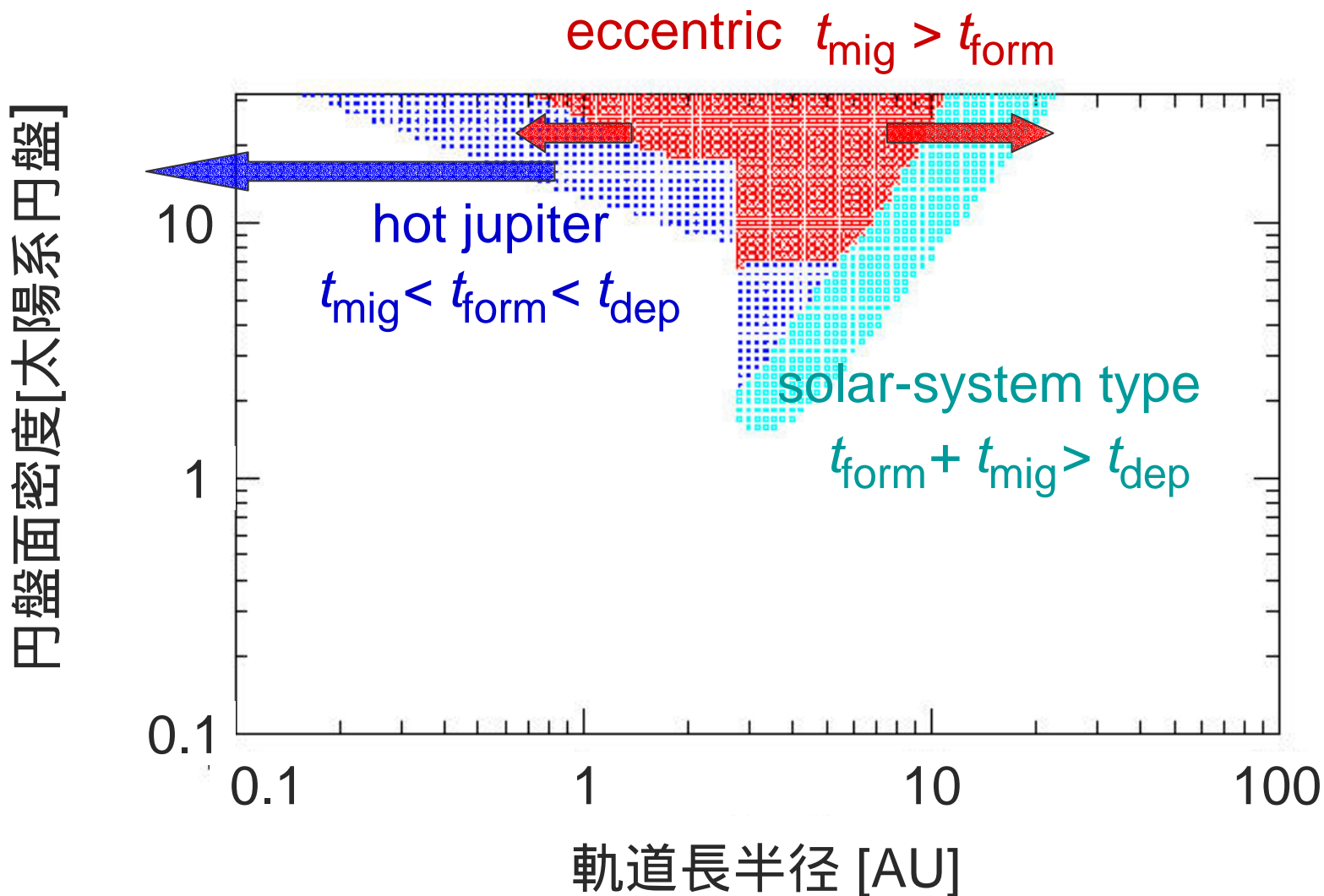


Tタウリ星の円盤質量の電波観測
Beckwith & Sargent (1996)



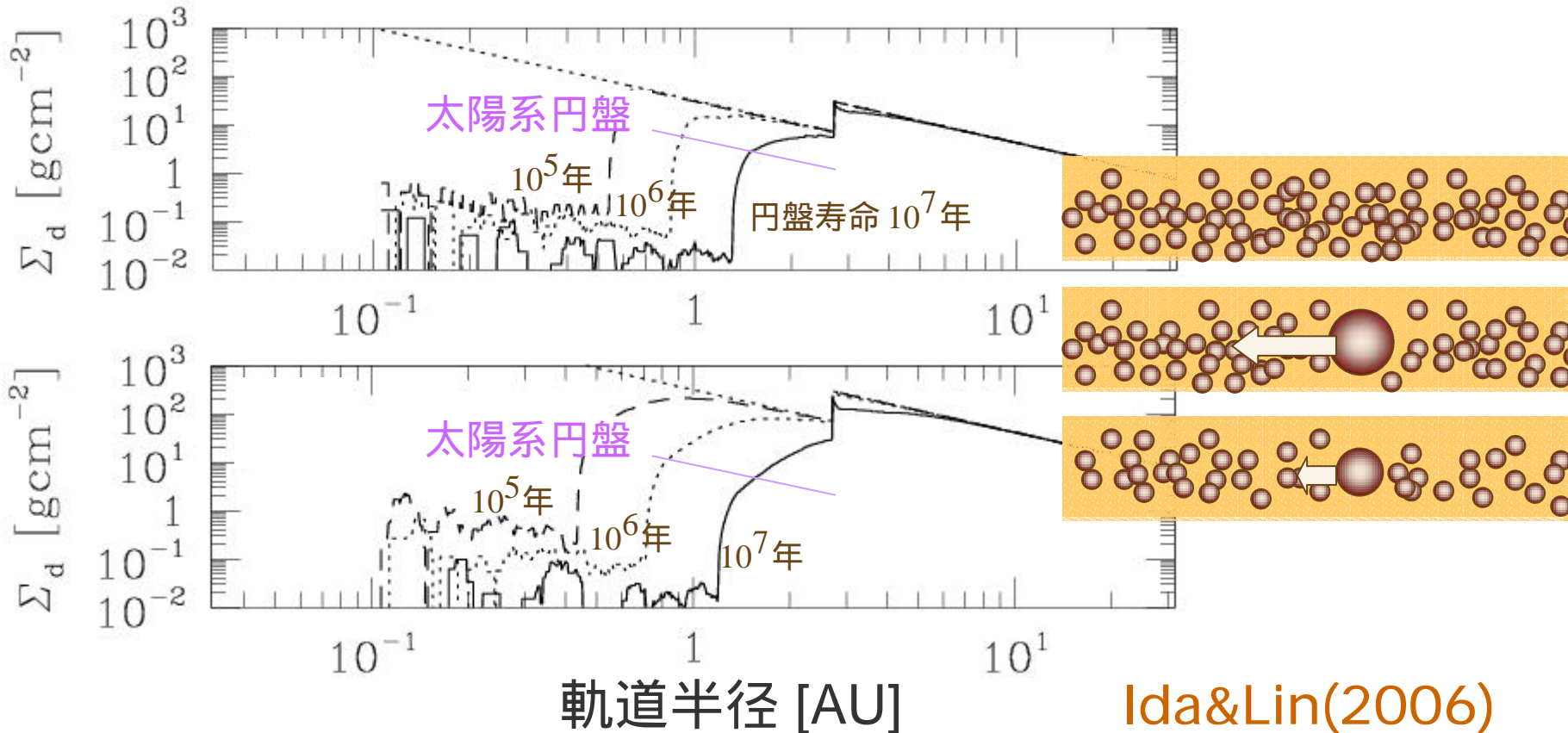
Diversity of gas giant planets

Ida&Lin(2006)



type-I migration

固体成分面密度



- 円盤寿命 10^6 - 10^7 年：1-2AUで火星クラス原始惑星が多数残る。
円盤ガス散逸後、原始惑星合体で地球サイズ惑星形成。
- self-regulation: 重い円盤での ~ 1 AUでの木星型惑星形成阻止。
- 系外巨大惑星の分布も説明可能 (late formation model)

Monte Carlo simulation

theoretical prediction for M - a distribution of exoplanets
with the overall planet formation model
(type-I & II migrations are included)

start from planetesimals

Σ , a_{ini} = (integration on 10^9 y) M_p , a_{final}

- 1) *Ida & Lin (2004a, ApJ, 604, 388)*
- 2) *Ida & Lin (2004b, ApJ, 616, 567)*
- 3) *Ida & Lin (2005, ApJ, 626, 1045)*
- 4) *Ida & Lin (2006, ApJ, submitted)*

Monte Carlo simulation to predict M_p - a distribution of exoplanets

- **disk gas surface density Σ_g :**

- initial distribution: log normal

$$\Sigma_g(0) = 0.1-10 \Sigma_{g,\text{MMSN}} \times (M_*/M_\odot)^2$$

- *a priori* exponential decay

$$\Sigma_g(t) = \Sigma_g(0) \exp(-t/\tau_{\text{dep}})$$

- **planetesimal surface density**

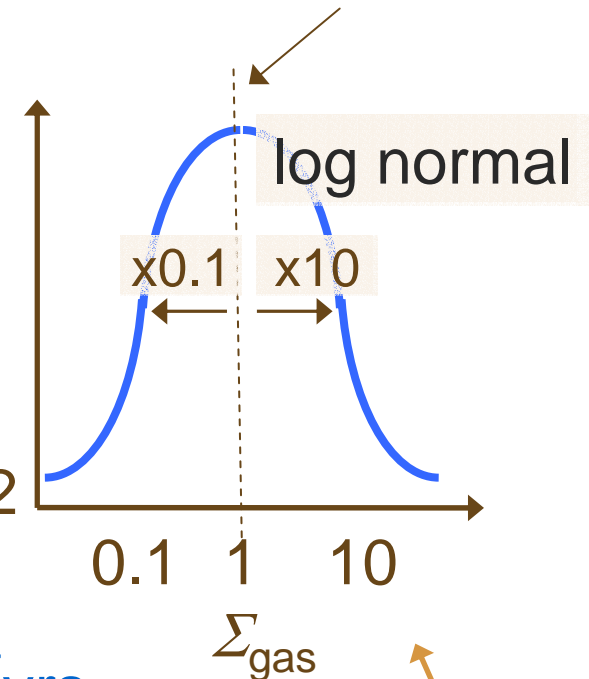
$$\Sigma_{\text{pl}}(0) \sim 10^{[\text{Fe}/\text{H}]} \times 0.01 \Sigma_g(0) ; [\text{Fe}/\text{H}] = 0.2$$

- **semimajor axis** : log uniform

- **disk lifetime τ_{dep}** : log uniform 10^6 - 10^7 yrs

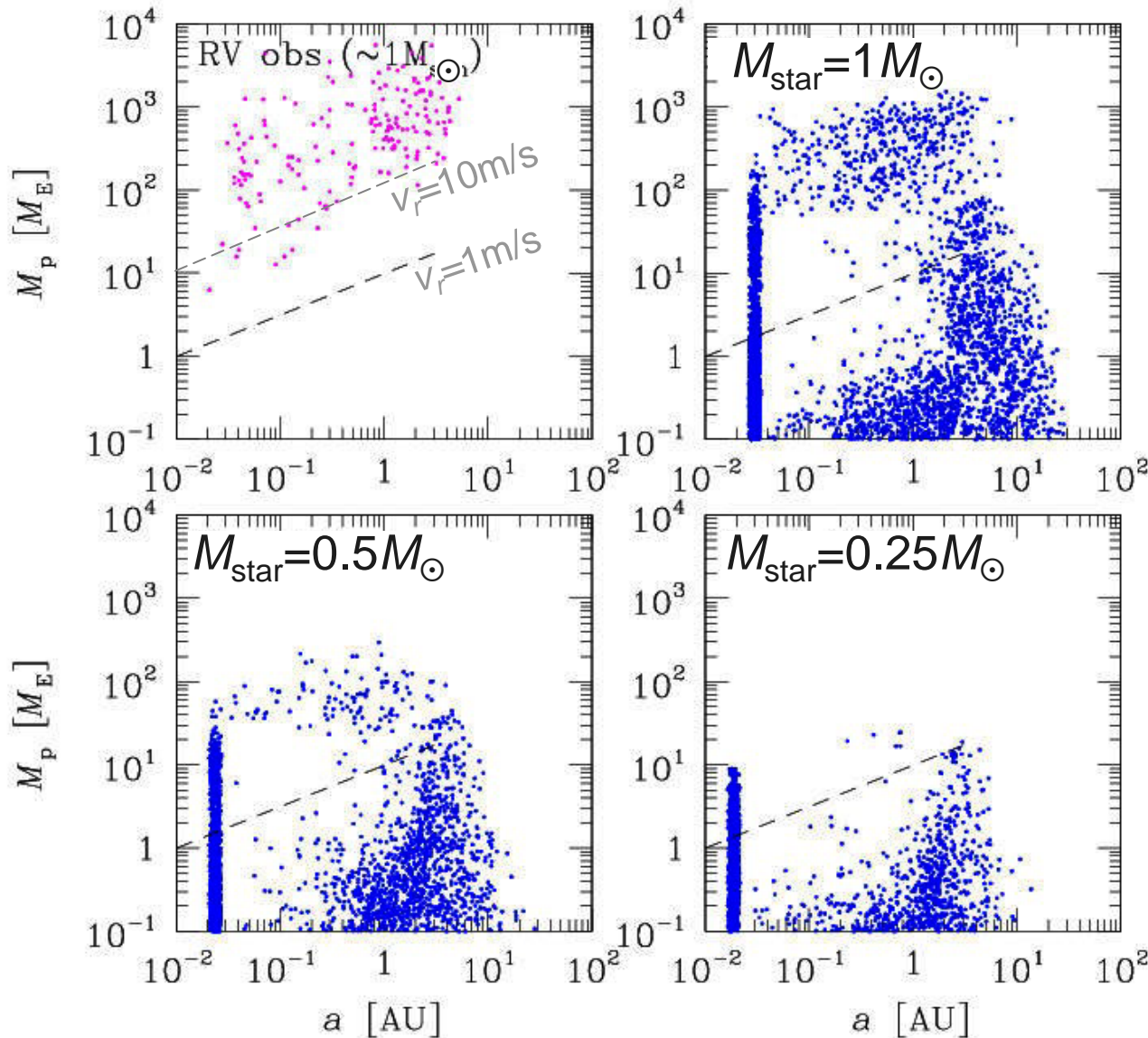
- **migration**: artificially stopped at 0.04AU

Min. Mass Solar Nebula



radio observation of disks around T-Tauri stars
Beckwith & Sargent (1996)

planets around various mass stars with type-I migration



with $k=8, C_1=0.1, [\text{Fe}/\text{H}]=0.2$

● gas giants

- $M_{\text{star}} \sim 1.0M_{\odot}$: abundant
- $M_{\text{star}} \sim 0.5M_{\odot}$: marginal
- $M_{\text{star}} \sim 0.25M_{\odot}$: rare

$\Sigma_{\text{pl}} \ \& \ T \ \searrow \ \text{for } M_{\text{star}} \ \searrow$

Laughlin et al. 2004

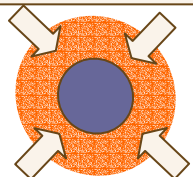
Ida & Lin 2005

consistent with current RV
& microlensing surveys

constraints on type-I mig & envelope contraction

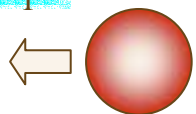
G dwarfs
obs: many gas giants

envelope contraction

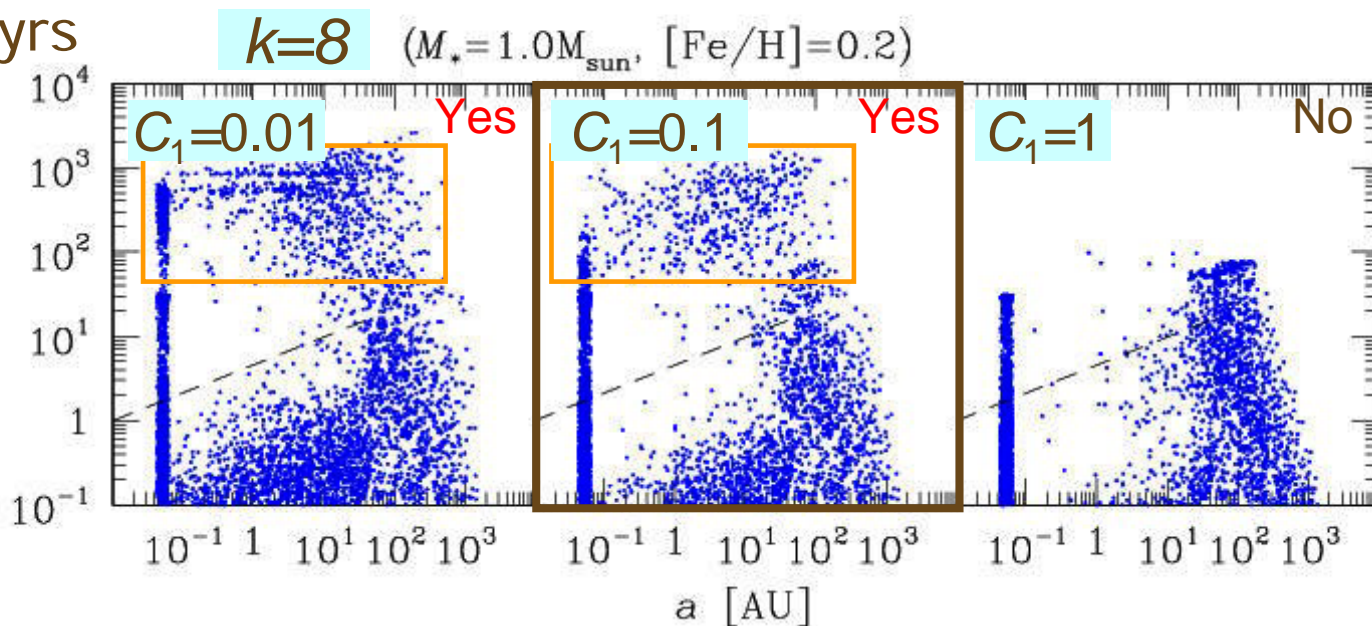
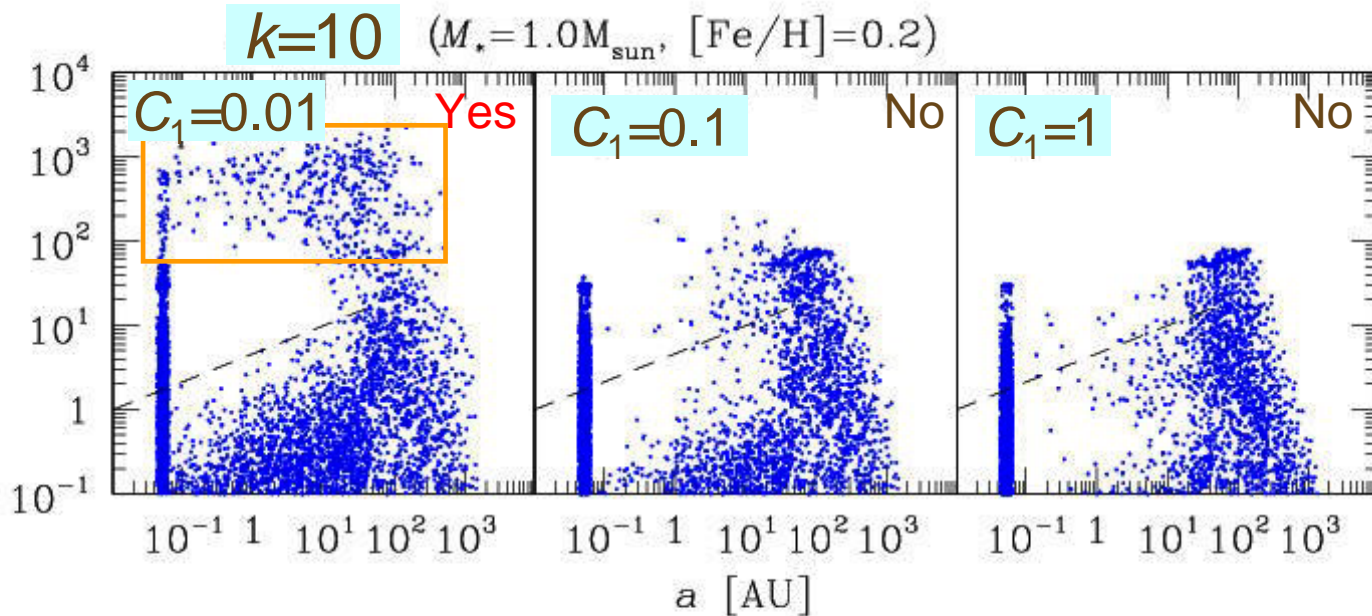


$$\frac{M_p}{M_p} \approx 10^k \left(\frac{M_p}{M_\oplus} \right)^{-3} \text{ yrs}$$

$$C_1 = \frac{a}{a_{\text{linear}}}$$



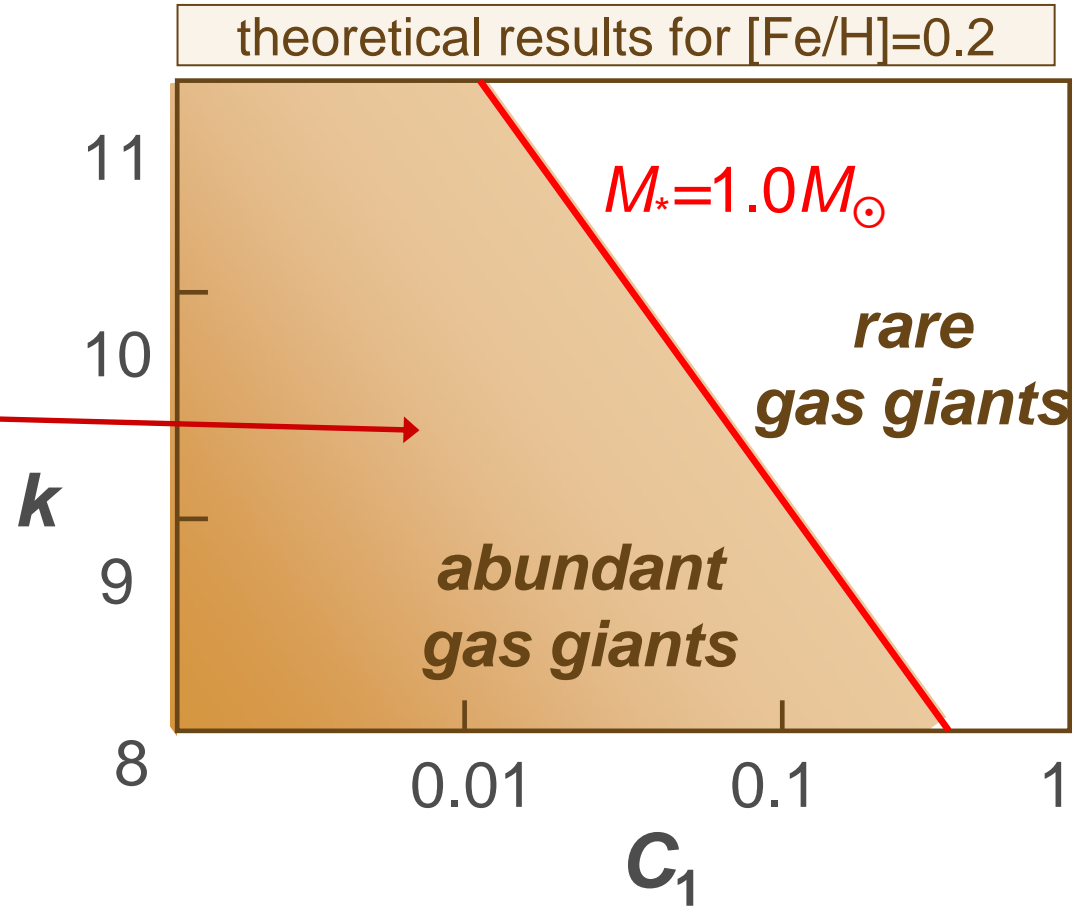
type-I migration



constraints on type-I mig & envelope contraction

$M_* \sim 1.0 M_\odot$

- observed gas giants: abundant
- C_1 & k must be



$$\frac{M_p}{M_\oplus} \approx 10^k \left(\frac{M_p}{M_\oplus} \right)^{-3} \text{ yrs}$$

$k \sim 11$: Pollack et al. with “phase II”

$k \sim 10$: Pollack et al. for “phase III”

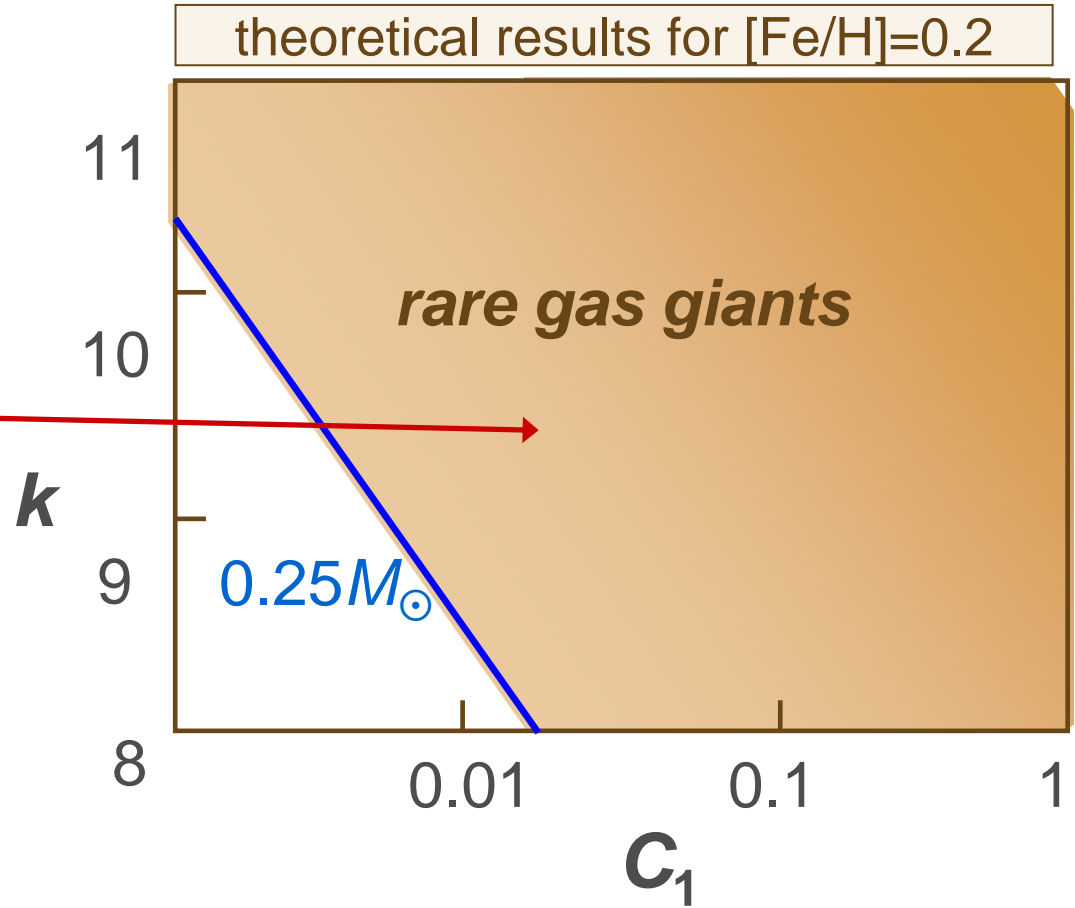
$k \sim 8$: Ikoma et al. (different opacity table)

$$C_1 = \frac{\alpha}{\alpha_{\text{linear}}}$$

constraints on type-I mig & envelope contraction

$M_* \sim 0.25 M_\odot$

- observed gas giants: rare
- C_1 & k must be



$$\frac{M_p}{M_\oplus} \approx 10^k \left(\frac{M_p}{M_\oplus} \right)^{-3} \text{ yrs}$$

$k \sim 11$: Pollack et al. with “phase II”

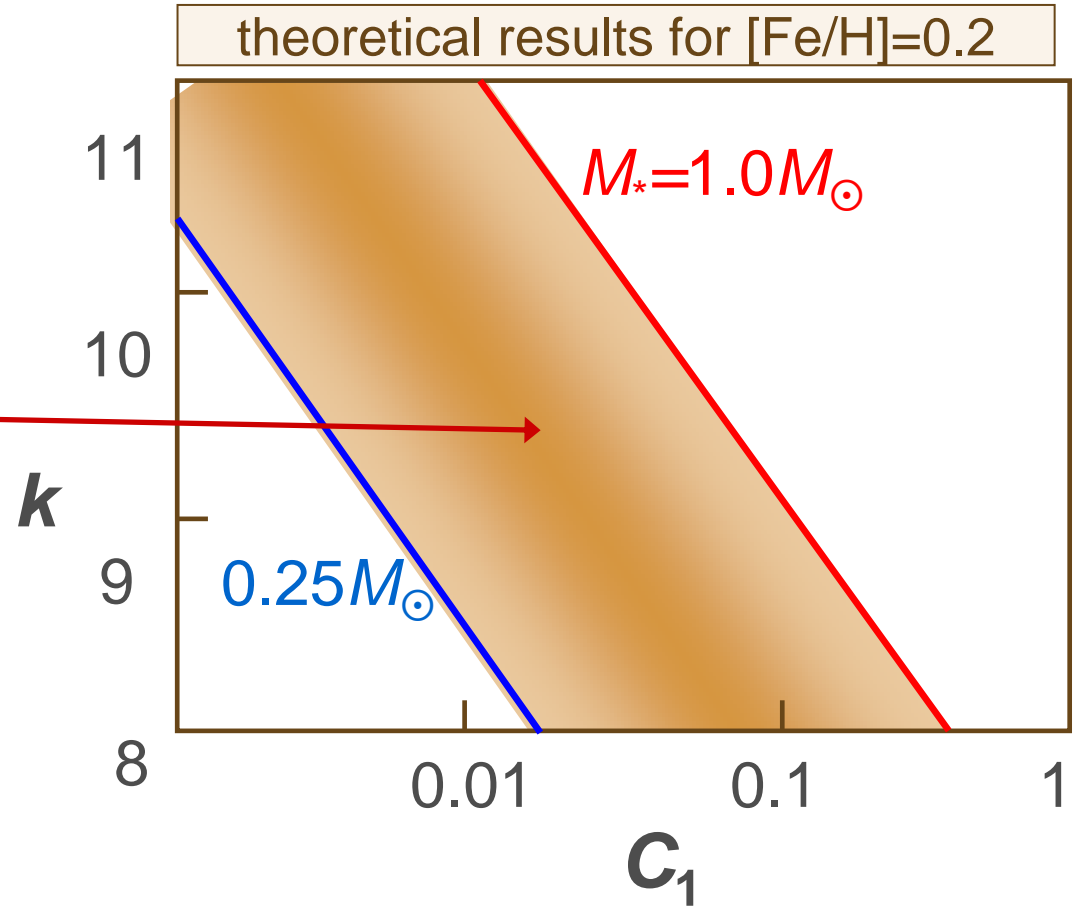
$k \sim 10$: Pollack et al. for “phase III”

$k \sim 8$: Ikoma et al. (different opacity table)

$$C_1 = \alpha / \alpha_{\text{linear}}$$

constraints on type-I mig & envelope contraction

- observed gas giants
 - $M_* \sim 1.0 M_\odot$: abundant
 - $M_* \sim 0.25 M_\odot$: rare
- C_1 & k must be



$$\frac{M_p}{M_\oplus} \approx 10^k \left(\frac{M_p}{M_\oplus} \right)^{-3} \text{ yrs}$$

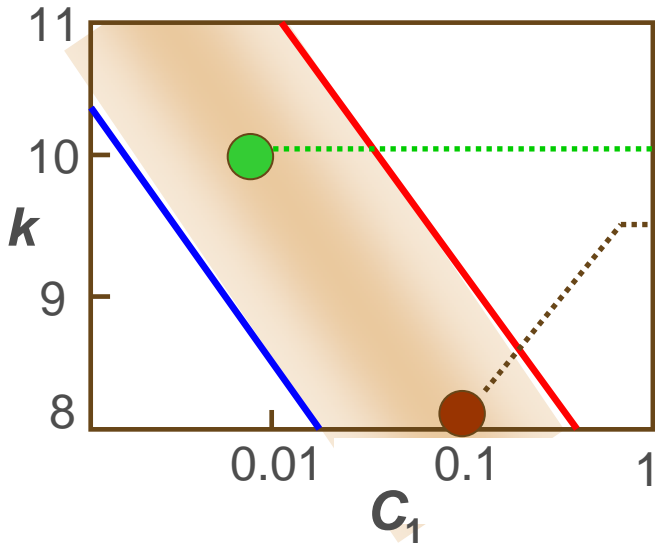
$k \sim 11$: Pollack et al. with “phase II”

$k \sim 10$: Pollack et al. for “phase III”

$k \sim 8$: Ikoma et al. (different opacity table)

$$C_1 = \frac{\alpha}{\alpha_{\text{linear}}}$$

constraints on type-I mig & envelope contraction

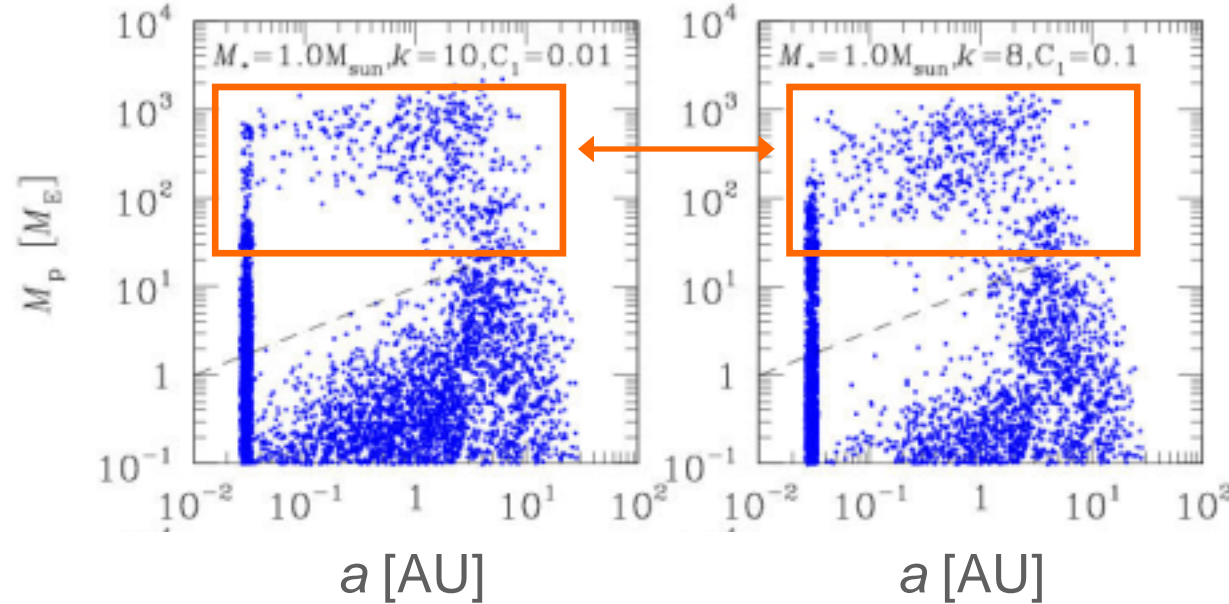


theoretical results for $[Fe/H]=0.2$

$$M_* = 1.0 M_{\odot}$$

$C_1 = 0.01, k = 10$

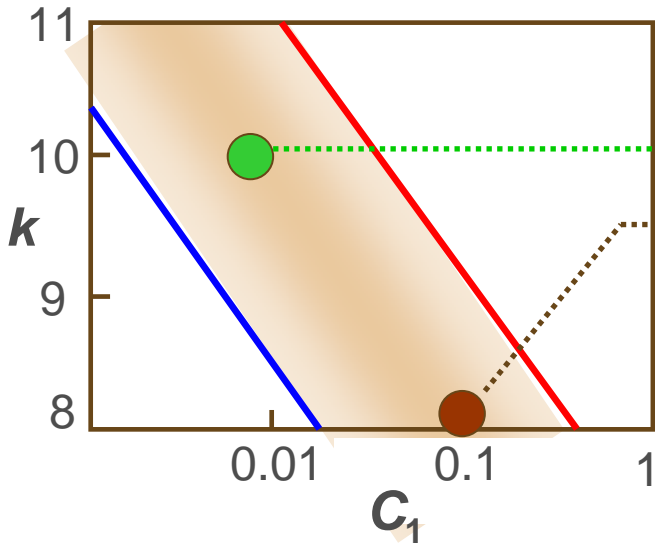
$C_1 = 0.1, k = 8$



$$\frac{M_p}{M_{\oplus}^k} \approx 10^k \left(\frac{M_p}{M_{\oplus}} \right)^{-3} \text{ yrs}$$

$$C_1 = \frac{a}{a_{\text{linear}}}$$

constraints on type-I mig & envelope contraction

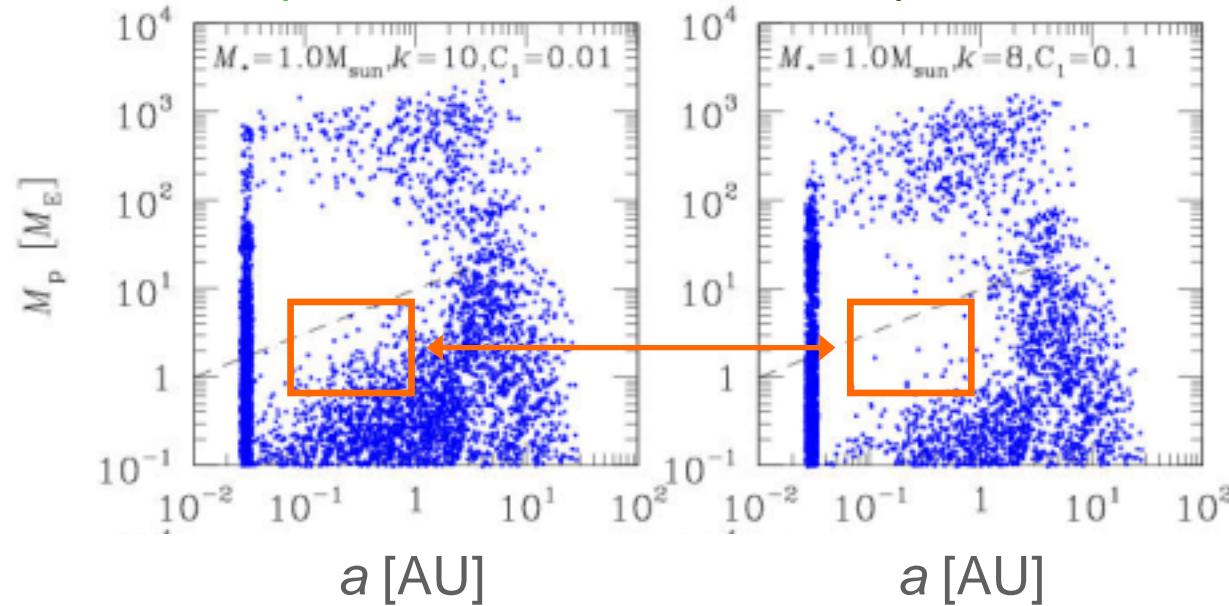


theoretical results for $[Fe/H]=0.2$

$$M_* = 1.0 M_{\odot}$$

$C_1 = 0.01, k = 10$

$C_1 = 0.1, k = 8$

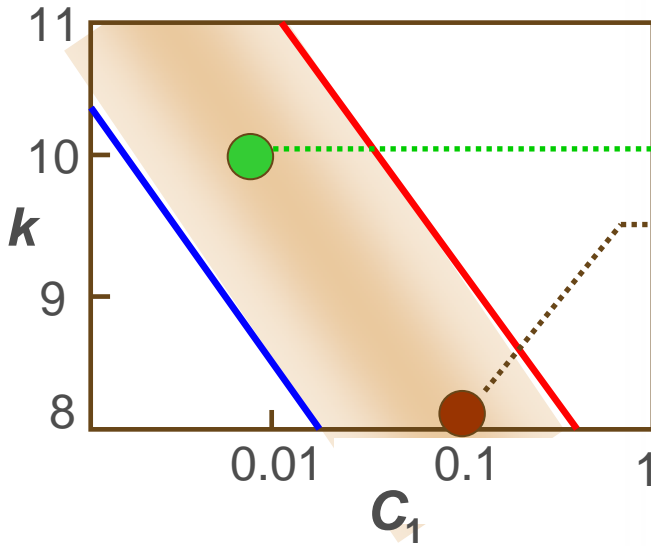


$$\frac{M_p}{M_{\oplus}} \approx 10^k \left(\frac{M_p}{M_{\oplus}} \right)^{-3} \text{ yrs}$$

$$C_1 = \frac{a}{a_{\text{linear}}}$$

Corot/Kepler will distinguish

constraints on type-I mig & envelope contraction

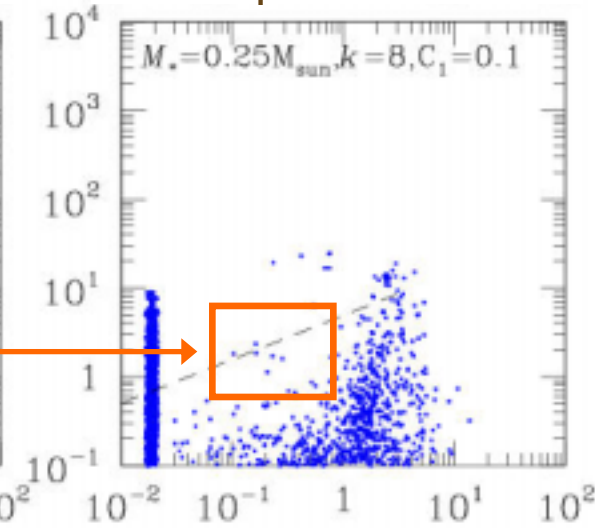
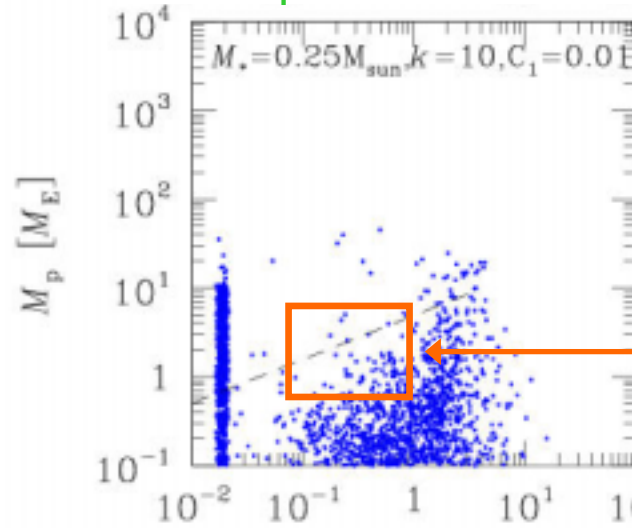


theoretical results for $[Fe/H]=0.2$

$$M_* = 0.25 M_{\odot}$$

$C_1 = 0.01, k = 10$

$C_1 = 0.1, k = 8$

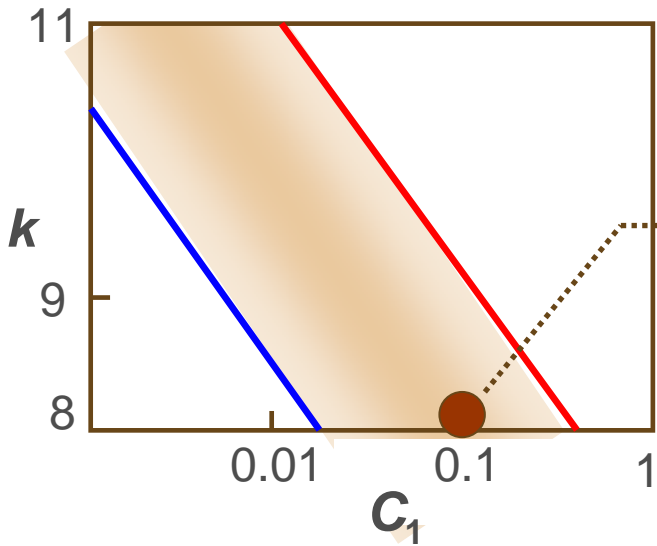


$$\frac{M_p}{M_{\oplus}} \approx 10^k \left(\frac{M_p}{M_{\oplus}} \right)^{-3} \text{ yrs}$$

$$C_1 = \alpha \& \alpha_{\text{linear}}$$

Around **low-mass stars**, distribution is affected only by type-I migration, but not by giant planets' perturbations

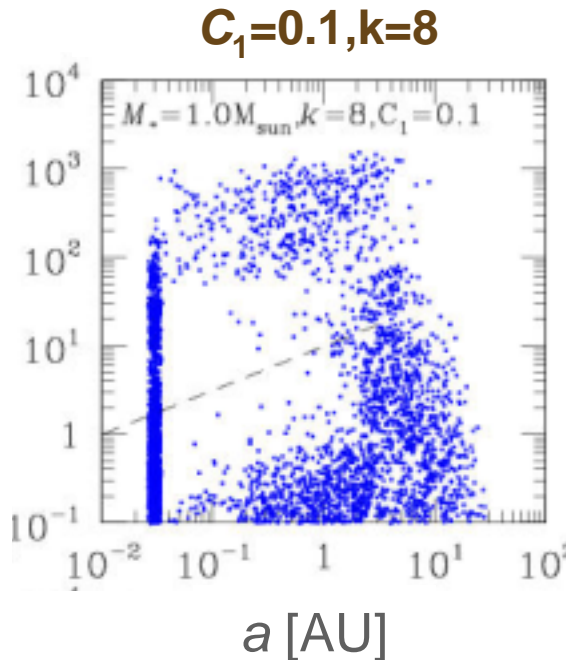
Inference of population of habitable planets (G stars)



theoretical results for $[Fe/H]=0.2$
 $M_* = 1.0 M_{\odot}$

$$\frac{M_p}{M_{\oplus}} \approx 10^k \left(\frac{M_p}{M_{\oplus}} \right)^{-3} \text{ yrs}$$

$$C_1 = \cancel{a} \& \cancel{a}_{\text{linear}}$$

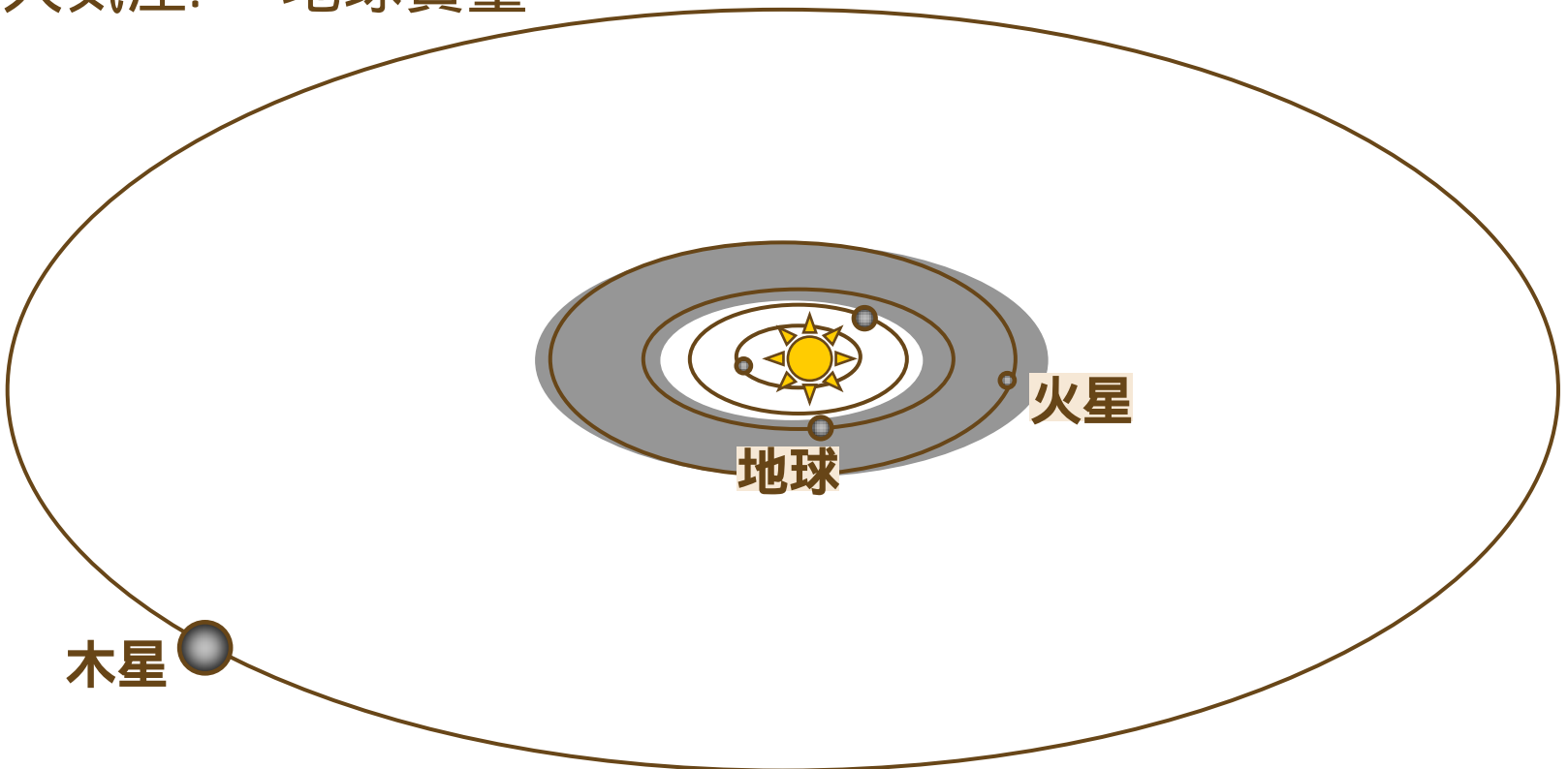


生命惑星 液相のH₂O (海)

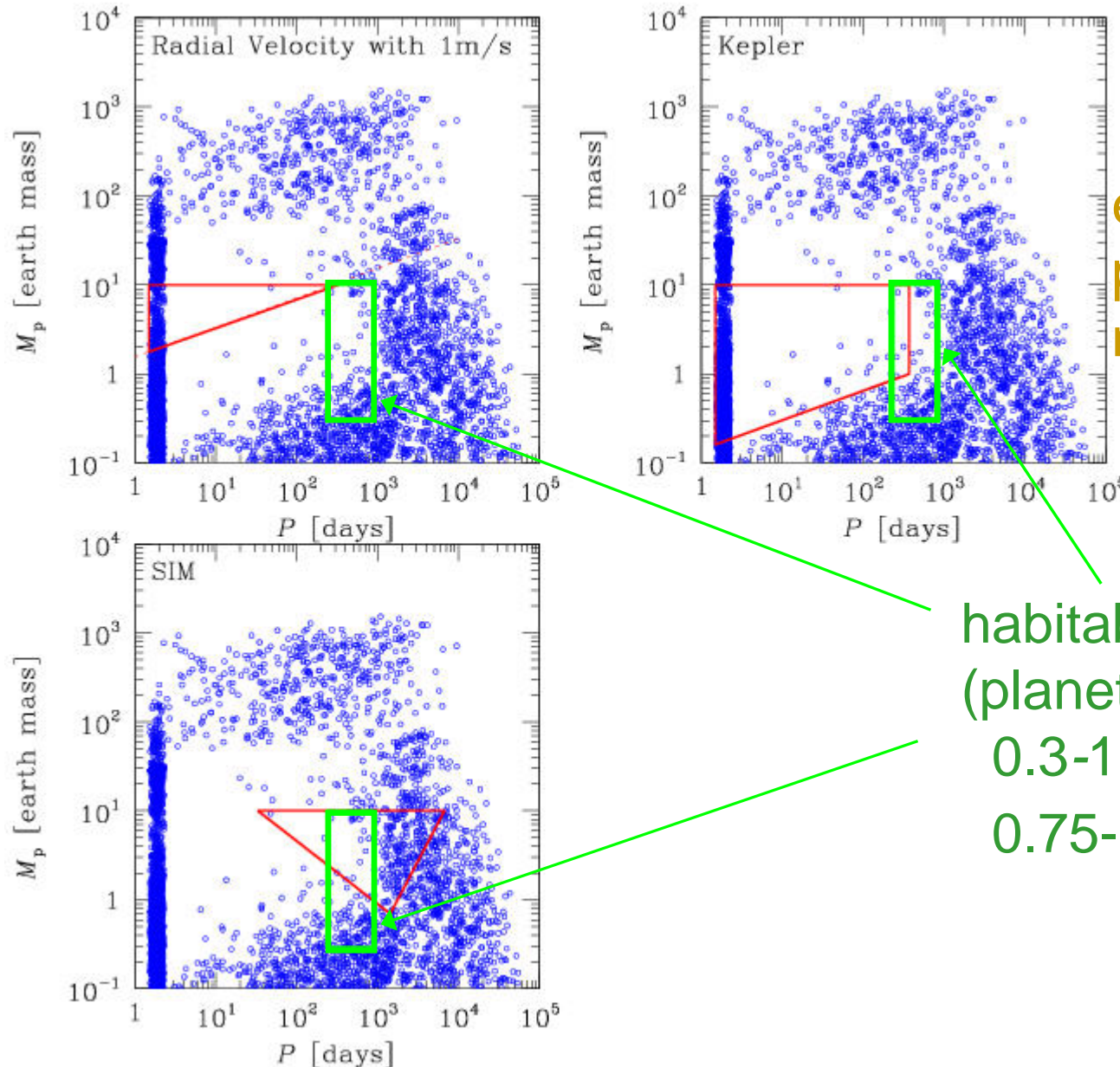
● 生命の起源 化学進化 海 + エネルギー

● 液相：ある温度、圧力範囲

- 表面温度: 中心星からの距離が適当な範囲 $\sim (M/M_{\odot})^2 \text{AU}$
- 大気圧: \sim 地球質量



Inference of population of habitable planets (G stars)

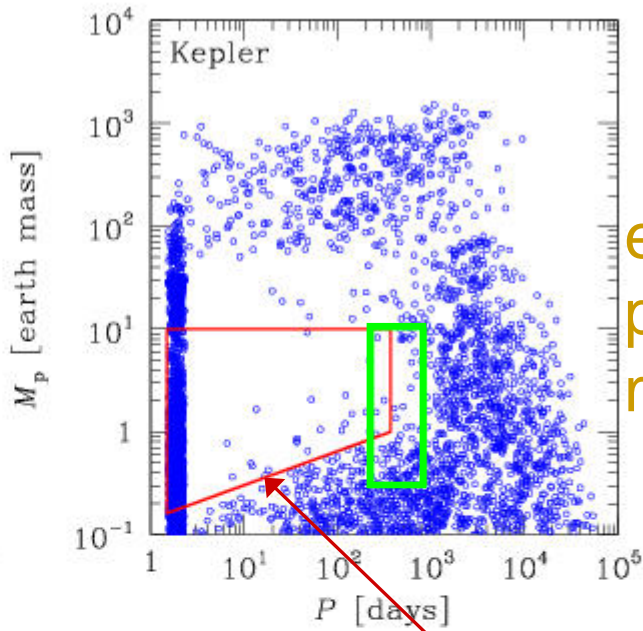
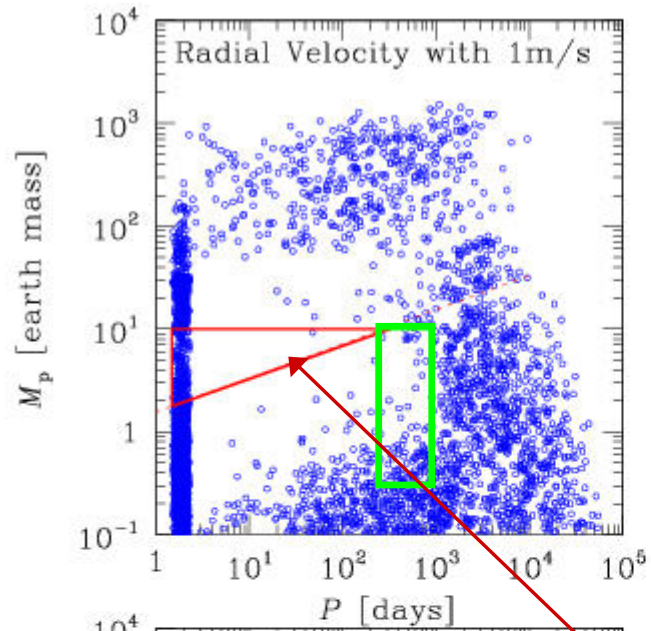


$M_* = 1.0 M_\odot$ $C_1 = 0.1, k = 8$

estimation from rocky planets ($< 10 M_\oplus$):
more reliable

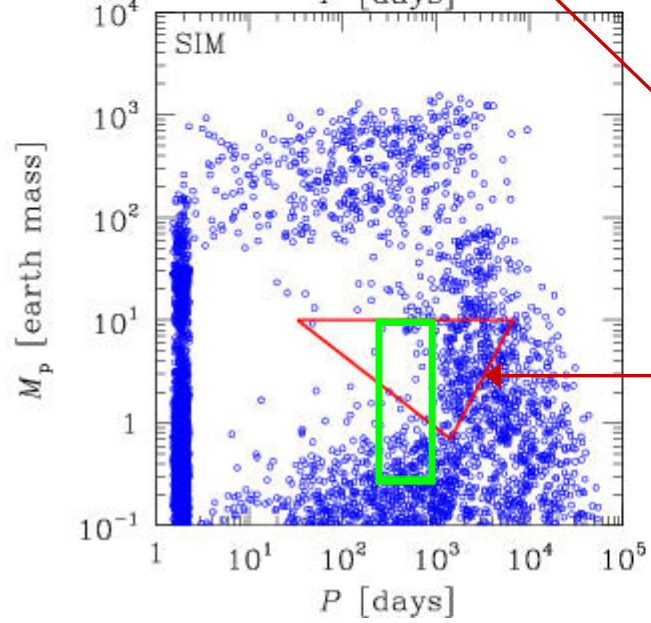
habitable planets
(planets sustaining ocean):
 $0.3 - 10 M_\oplus$
 $0.75 - 1.8 \text{ AU} \times (M_*/M_\odot)^{1.5-2}$

Inference of population of habitable planets (G stars)



$M_* = 1.0 M_\odot$ $C_1 = 0.1, k = 8$

estimation from rocky planets ($< 10 M_\oplus$): more reliable

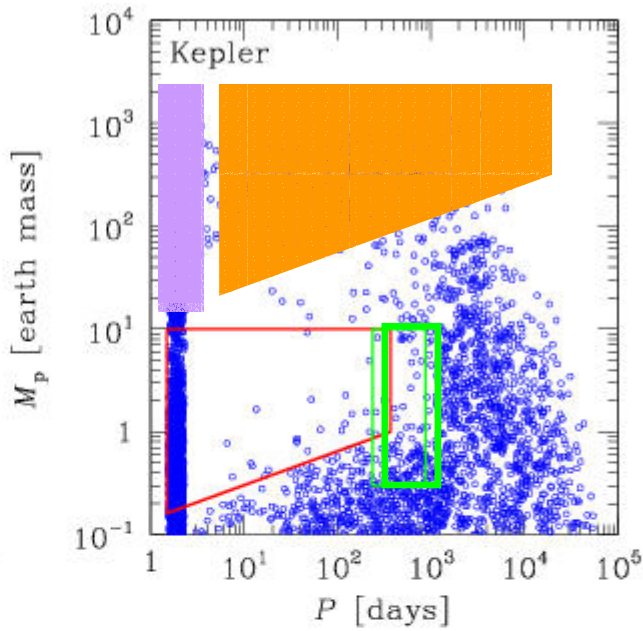
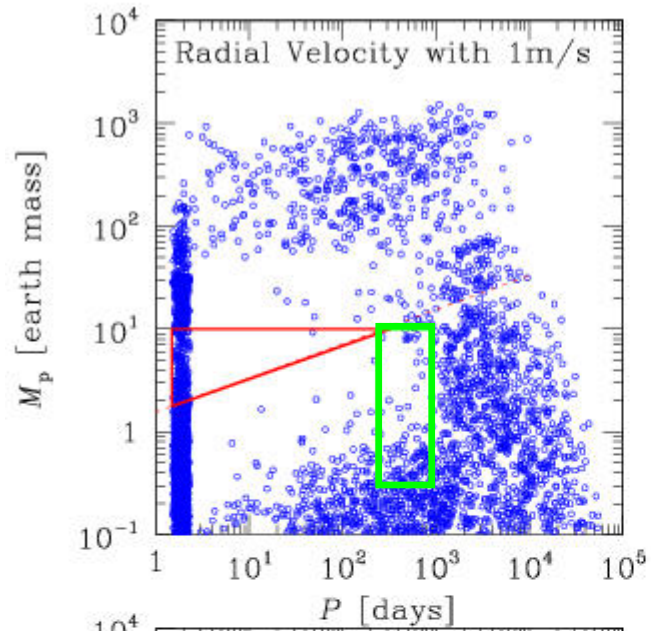


RV from ground;
 $v_r = 1 \text{ m/s}$

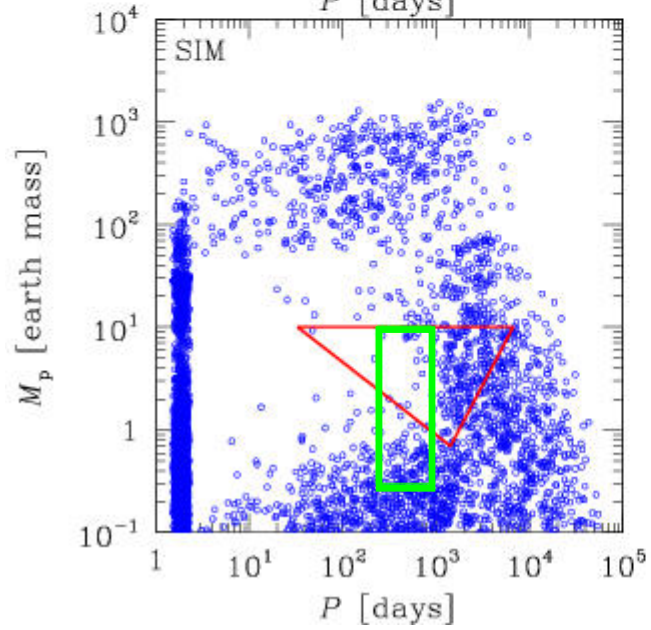
SIM mission;
5 years, μarcsec

Kepler mission;
4 years, $V = 12$

Inference of population of habitable planets (G stars)



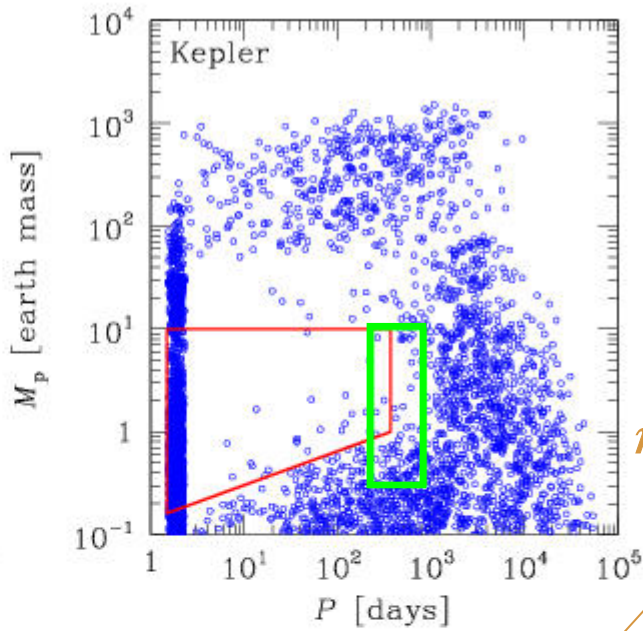
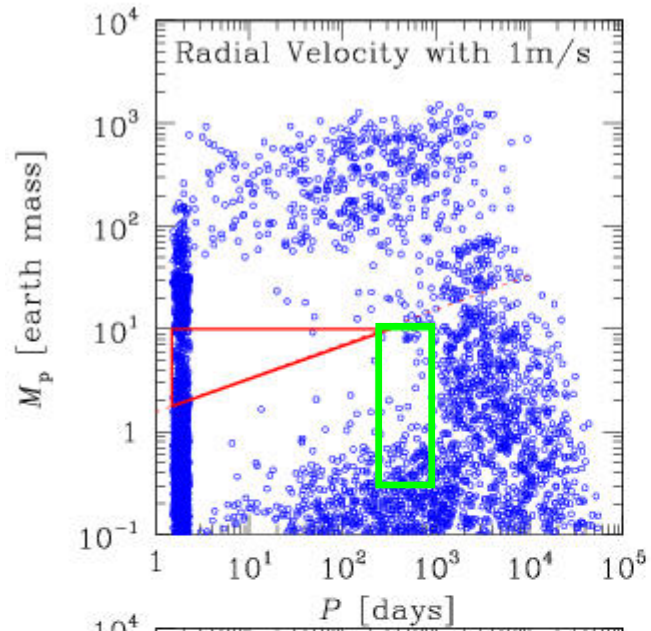
$M_* = 1.0 M_\odot$ $C_1 = 0.1, k = 8$



retention rate η of close-in planets is estimated from giant planets detectable by RV survey with $>10\text{m/s}$ & < 5 years:

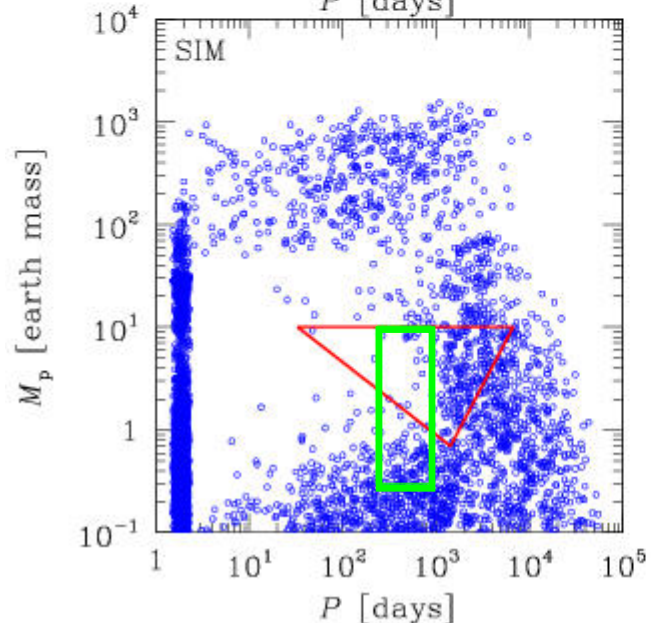
$$\eta \sim \frac{\text{close-in/distant (RV data)}}{\text{close-in/distant (theory)}} \sim 0.07$$

Inference of population of habitable planets (G stars)



$M_* = 1.0 M_\odot$ $C_1 = 0.1, k = 8$

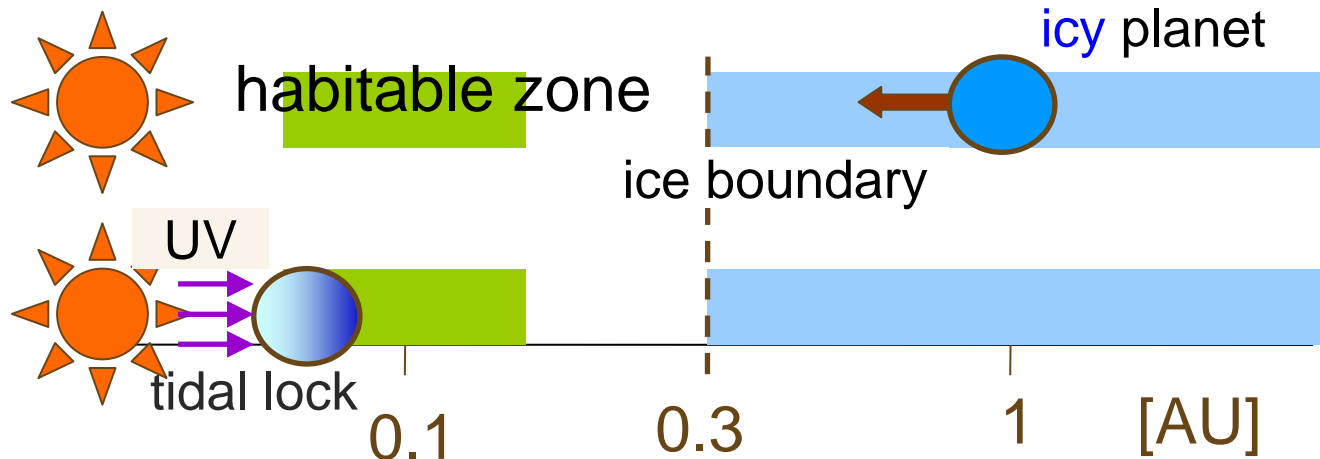
$\eta \times \# \text{close-in} + \# \text{distant}$



# of habitable planets	
# of detectable planets with $< 10 M_\oplus$	
RV with $v_r = 1 \text{ m/s}$	0.79
Kepler	0.84
SIM	0.23

habitable “ocean planets”?

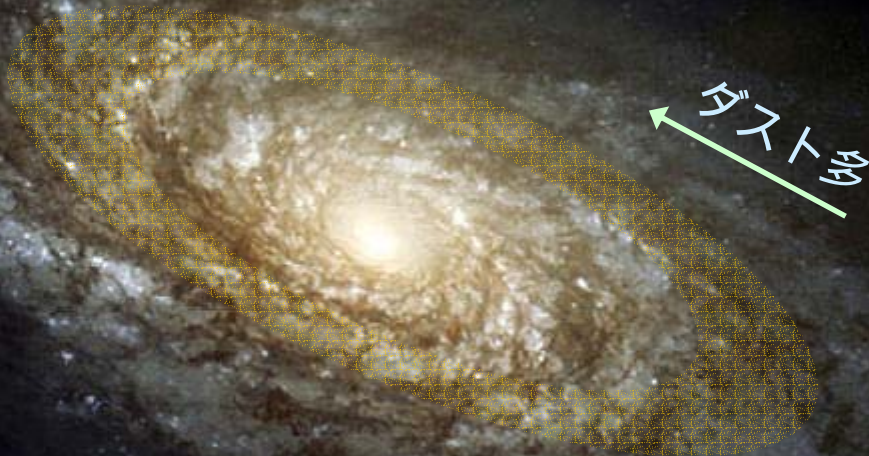
- Around M stars, **habitable zone ~ 0.1AU**
 - rocky planets formed in situ: too small to sustain atmosphere
- **close-in neptunes** around M stars
 - H_2O planets in **warm** environment



- **habitable “ocean planets”?** Kuchner(2003), Leger et al. (2004)
 - liquid water & energy supply, H_2O atmosphere, tidally locked...
- **marginally observable** at present
- more abundant than Earth-like planets around G stars?

「生命」で天文学を再構築

galactic habitable zone



metallicity

habitability

高過ぎると木星ばかり

低過ぎると
大気を保持できない
小さい惑星ばかり

重元素比は銀河のタイプに依存
habitable galaxy

重元素比は増加
宇宙 habitable era